

## Kirchhoff - Gesetze

- Konzentriertheithypothese:  $d \ll \lambda$   $d$  = Größe der Schaltung, Wellenlänge  $\lambda = cT$

- Knotenregel, KCL:  $\sum_{\text{Knoten}} i_j(t) = 0$  (herausfließende Ströme positiv)

- Maschenregel, KVL:  $\sum_{\text{Umlauf}} u_j(t) = 0$  (Spannungen in Umlaufrichtung positiv)

- Knoteninzenzmatrix:  $A' = \begin{bmatrix} \alpha_{11} & \cdots & \alpha_{1b} \\ \vdots & & \vdots \\ \alpha_{n1} & \cdots & \alpha_{nb} \end{bmatrix}$   $n$  Knoten  
 $b$  Zweige

Spaltensummen von  $A'$  sind immer = 0  
 $\Rightarrow$  Zeile des Bezugsknotens streichen  $\Rightarrow$   
 $A' \cdot i = 0$  (red. Knoteninzenzmatrix)

$M = A'^T$  mit  $u = M' u_k \Rightarrow$  KVL in Matrixform:  $u - A'^T u_k = 0$

## Resistive Eintore

- Implizite Darstellung:  $f_F(u, i) = 0$   
- Parameterdarstellung:  $u = u_F(\lambda)$ ,  $i = i_F(\lambda)$   
- Explizite Darstellung:  $i = g_F(u)$ ;  $u = r_F(i)$   
Leitwertdarst.; Widerstandsdarst.

- F ungepolt  $\Rightarrow$  Kennlinie punktsymm. zum Urspr.  
- F aktiv  $\Rightarrow$  mind. 1 Pkt. im II. od. IV. Quadr.  
- F verlustfrei  $\Rightarrow$  nur auf Koordinatenachsen  
- F quellenfrei  $\Rightarrow$  enthält den Ursprung  
- F streng linear  $\Rightarrow (ku, ki) \in F$ ;  $(u_1 + u_2, i_1 + i_2) \in F$

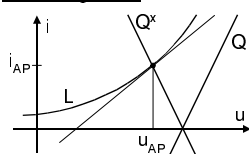
- Umpolung:  $\bar{F}$  entsteht durch Punktspiegelung von  $F$  am Ursprung:  $(\bar{u}, \bar{i}) = (-u, -i) \in \bar{F}$

- Dualität:  $(u, i) \in F \Leftrightarrow \left(R_d i, \frac{u}{R_d}\right) \in F^d$

- Parallelschaltung von Widerstandsgeraden:  $G = G_1 + G_2 \Rightarrow \frac{1}{R} = \frac{1}{R_1} + \frac{1}{R_2} \Rightarrow R = R_1 \parallel R_2 = \frac{R_1 R_2}{R_1 + R_2}$

- Serienschaltung von Widerstandsgeraden: genauso wie Parallelschaltung nur  $R$  statt  $G$

- Arbeitspunkt ermitteln: 1. Schaltung aufteilen in Quelle  $Q$  und Last  $L$



2. Parameterdarstellung  $\Rightarrow$  Kennlinien zeichnen

3. Lösung: Schnittpunkte der Kennlinien!  $\Rightarrow$  ist die Funktion im AP stetig und diffbar, kann man sie dort linearisieren

## Resistive Zweitore

- Beschreibungsformen:

- Implizit:  $f(u, i) = 0$

- Parameterisiert:

$$\begin{bmatrix} u(c) \\ i(c) \end{bmatrix} \in F$$

- Explizit:

$$\begin{bmatrix} u_1 \\ i_1 \end{bmatrix} = \mathbf{A} \cdot \begin{bmatrix} u_2 \\ -i_2 \end{bmatrix} = \begin{bmatrix} a_{11}u_2 - a_{12}i_2 \\ a_{21}u_2 - a_{22}i_2 \end{bmatrix} \quad \begin{bmatrix} i_1 \\ i_2 \end{bmatrix} = \mathbf{G} \cdot \begin{bmatrix} u_1 \\ u_2 \end{bmatrix} = \begin{bmatrix} g_{11}u_1 + g_{12}u_2 \\ g_{21}u_1 + g_{22}u_2 \end{bmatrix}$$

$$\begin{bmatrix} u_2 \\ i_2 \end{bmatrix} = \mathbf{A}' \cdot \begin{bmatrix} u_1 \\ -i_1 \end{bmatrix} = \begin{bmatrix} a'_{11}u_1 - a'_{12}i_1 \\ a'_{21}u_1 - a'_{22}i_1 \end{bmatrix} \quad \begin{bmatrix} u_1 \\ u_2 \end{bmatrix} = \mathbf{R} \cdot \begin{bmatrix} i_1 \\ i_2 \end{bmatrix} = \begin{bmatrix} r_{11}i_1 + r_{12}i_2 \\ r_{21}i_1 + r_{22}i_2 \end{bmatrix}$$

$$\begin{bmatrix} u_1 \\ i_2 \end{bmatrix} = \mathbf{H} \cdot \begin{bmatrix} i_1 \\ u_2 \end{bmatrix} = \begin{bmatrix} h_{11}i_1 + h_{12}u_2 \\ h_{21}i_1 + h_{22}u_2 \end{bmatrix}$$

$$\begin{bmatrix} i_1 \\ u_2 \end{bmatrix} = \mathbf{H}' \cdot \begin{bmatrix} u_1 \\ i_2 \end{bmatrix} = \begin{bmatrix} h'_{11}u_1 + h'_{12}i_2 \\ h'_{21}u_1 + h'_{22}i_2 \end{bmatrix}$$

$G$ : Leitwertmatrix  
 $R$ : Widerstandsmatrix  
 $H$ : Hybridmatrix  
 $H'$ : „inverse“ Hybridmatrix  
 $A$ : Kettenmatrix  
 $A'$ : „inverse“ Kettenmatrix

- Aufstellen der Matrix z.B.  $G$ :  $g_{11} = \frac{i_1}{u_1} \Big|_{u_2=0}$   $g_{12} = \frac{i_1}{u_2} \Big|_{u_1=0}$   $g_{21} = \frac{i_2}{u_1} \Big|_{u_2=0}$   $g_{22} = \frac{i_2}{u_2} \Big|_{u_1=0}$

oder:  $R$ :  $r_{11} = \frac{u_1}{i_1} \Big|_{i_2=0}$   $r_{12} = \frac{u_1}{i_2} \Big|_{i_1=0}$   $r_{21} = \frac{u_2}{i_1} \Big|_{i_2=0}$   $r_{22} = \frac{u_2}{i_2} \Big|_{i_1=0}$

- Linearisierung (explizit):  $\Delta f(\Delta u, \Delta i) = M \Delta u + N \Delta i = 0$

$$M := \begin{bmatrix} \frac{\partial f_1}{\partial u_1} & \frac{\partial f_1}{\partial u_2} \\ \frac{\partial f_2}{\partial u_1} & \frac{\partial f_2}{\partial u_2} \end{bmatrix} \quad N := \begin{bmatrix} \frac{\partial f_1}{\partial i_1} & \frac{\partial f_1}{\partial i_2} \\ \frac{\partial f_2}{\partial i_1} & \frac{\partial f_2}{\partial i_2} \end{bmatrix}$$

- streng linear (= linear und quellenfrei): eine beliebige Linearkomb. zweier Betriebspunkte ist wieder ein BP

$$\begin{bmatrix} u^{(1)} \\ i^{(1)} \end{bmatrix} \in F \wedge \begin{bmatrix} u^{(2)} \\ i^{(2)} \end{bmatrix} \in F \Rightarrow \alpha \begin{bmatrix} u^{(1)} \\ i^{(1)} \end{bmatrix} + \beta \begin{bmatrix} u^{(2)} \\ i^{(2)} \end{bmatrix} \in F; \alpha, \beta \in \mathbb{R}$$

$$f(u, i) = M u + N i = 0$$

- Linearisierung (explizit):  $i = G(u) = I + \frac{\partial g(u)}{\partial u} \Delta u = I + G \Delta u$  mit

$$G = \begin{bmatrix} \frac{\partial g_1}{\partial u_1} & \frac{\partial g_1}{\partial u_2} \\ \frac{\partial g_2}{\partial u_1} & \frac{\partial g_2}{\partial u_2} \end{bmatrix} \Big|_{AP} \quad \begin{bmatrix} i_1 \\ i_2 \end{bmatrix} = \begin{bmatrix} I_1 \\ I_2 \end{bmatrix} + G \begin{bmatrix} \Delta u_1 \\ \Delta u_2 \end{bmatrix}$$

$$\text{Taylor: } f_{lin}(x) = f(x_0) + \frac{\partial f(x_0)}{\partial x} \Big|_{x_0} \cdot (x - x_0)$$

$G$  ist Jacobimatrix

Nullator		$u=0 \quad i=0$		- streng linear; verlustlos - dual zu sich selbst
Norator		$u = \text{beliebig} \quad i = \text{beliebig}$		- streng linear; aktiv - dual zu sich selbst
Leerlauf		$u = \text{beliebig} \quad i=0$		- streng linear - dual zum Kurzschluss
Kurzschluß		$u=0 \quad i = \text{beliebig}$		- streng linear - dual zum Leerlauf
ohmscher Widerstand		$u=R \cdot i \quad i=G \cdot u$		- streng linear - passiv $R^d = \frac{R_d^2}{R} \quad G^d = \frac{1}{R_d^2 G}$
ideale Stromquelle		$u = \text{beliebig} \quad i=i_0$		- spannungsgesteuert; aktiv; gepolt - linear, dual zur Spannungsquelle
ideale Spannungsquelle		$u=u_0 \quad i = \text{beliebig}$		- stromgesteuert; aktiv; gepolt - linear; dual zur Stromquelle
reale Diode		$u_D = U_T \ln(i_D/I_S + 1)$ $i_D = I_S [\exp(u_D/U_T) - 1]$		- gepolt; passiv $U_T = 25mV$ - quellenfrei $I_S \approx pA$
Photodiode		$i(0) = I_S [\exp(u(t)/U_T) - 1] - i_L(t)$		- gepolt; aktiv
Zenerdiode		$u < U_Z \Rightarrow i \text{ sehr groß}$ Zehnerdurchbruch		- gepolt; passiv - quellenfrei
Tunneldiode				- gepolt; passiv; quellenfrei - inkremental aktiv !
ideale Diode		$u=0 \quad \text{für} \quad i > 0$ $i=0 \quad \text{für} \quad u < 0$		- verlustlos; stückweise linear - dual: umgepolte ideale Diode
Konkaver (G,U) Widerstand		$i=0 \quad \text{für} \quad u \leq U_0$ $i=G(u-U_0) \quad \text{für} \quad u \geq U_0$		- stückweise linear - für $U_0 > 0, G > 0$ : passiv, spannungsgesteuert - dual: konvexer Widerstand
Konvexer (R,I) Widerstand		$u=0 \quad \text{für} \quad i \leq I_0$ $u=R(i-I_0) \quad \text{für} \quad i \geq I_0$		- stückweise linear; für $I_0 > 0, R > 0$ : stromgest. - dual: konkaver Widerstand
Lineare Quellen				- linear; aktiv - $U_0 = I_0 R, \quad I_0 = U_0 G$
Spannungs gest. Stromquelle <b>USI</b> <b>VCCS</b>		$u_1 \downarrow \quad i_1=0 \quad i_2=gu_1 \quad u_2 \downarrow$	$A = \begin{bmatrix} 0 & -1/g \\ 0 & 0 \end{bmatrix} \quad G = \begin{bmatrix} 0 & 0 \\ g & 0 \end{bmatrix} \quad M = \begin{bmatrix} 0 & 0 \\ -g & 0 \end{bmatrix} \quad N = \begin{bmatrix} 1 & 0 \\ 0 & 1 \end{bmatrix}$	
Strom gest. Stromquelle <b>ISI</b> <b>CCCS</b>		$u_1=0 \quad i_1 \downarrow \quad i_2=\beta i_1 \quad u_2 \downarrow$	$A = \begin{bmatrix} 0 & 0 \\ 0 & -1/\beta \end{bmatrix} \quad H = \begin{bmatrix} 0 & 0 \\ \beta & 0 \end{bmatrix}$	
Spannungs gest. Spannungsq. <b>USU</b> <b>VCVS</b>		$u_1 \downarrow \quad i_1 \downarrow \quad i_2=\mu i_1 \quad u_2 \downarrow$	$A = \begin{bmatrix} 1/\mu & 0 \\ 0 & 0 \end{bmatrix} \quad H' = \begin{bmatrix} 0 & 0 \\ \mu & 0 \end{bmatrix}$	
Strom gest. Spannungsquelle <b>ISU</b> <b>CCVS</b>		$u_1=0 \quad i_1 \downarrow \quad i_2=r i_1 \quad u_2 \downarrow$	$A = \begin{bmatrix} 0 & 0 \\ 1/r & 0 \end{bmatrix} \quad R = \begin{bmatrix} 0 & 0 \\ r & 0 \end{bmatrix} \quad M = \begin{bmatrix} 1 & 0 \\ 0 & 1 \end{bmatrix} \quad N = \begin{bmatrix} 0 & 0 \\ -r & 0 \end{bmatrix}$	
Nullor quellenfrei, streng linear		$u_1 \downarrow \quad i_1 \downarrow \quad i_2 \downarrow \quad u_2 \downarrow$	$A = \begin{bmatrix} 0 & 0 \\ 0 & 0 \end{bmatrix} = 0 \quad M = \begin{bmatrix} 1 & 0 \\ 0 & 0 \end{bmatrix} \quad N = \begin{bmatrix} 0 & 0 \\ 1 & 0 \end{bmatrix}$	
Gyrator, Dualwandler idealer G.: $R_1=R_2=R_d$ verlustlos; $G=-G^T$ ; $R=-R^T$ Positiv Immittanz Inverter $F_{Gyr}=F^d$		$u_1 \downarrow \quad i_1 \downarrow \quad i_2 \downarrow \quad u_2 \downarrow$ $det A = det A' = -1 \quad R_1 : R_2$	$A = \begin{bmatrix} 0 & R_1 \\ 1/R_2 & 0 \end{bmatrix} \quad M = \begin{bmatrix} 1 & 0 \\ 0 & 1 \end{bmatrix} \quad N = \begin{bmatrix} 0 & R_1 \\ -R_2 & 0 \end{bmatrix}$ $G = \begin{bmatrix} 0 & 1/R_2 \\ -1/R_1 & 0 \end{bmatrix} \quad R = \begin{bmatrix} 0 & -R_1 \\ R_2 & 0 \end{bmatrix} \quad A' = \begin{bmatrix} 0 & -R_2 \\ -1/R_1 & 0 \end{bmatrix}$	
Idealer Übertrager verlustlos, reziprok, umkehrbar für $\tilde{u}=\pm 1$ Positiv Immittanz Konverter		$u_1 \downarrow \quad i_1 \downarrow \quad i_2 \downarrow \quad u_2 \downarrow$ $\tilde{u}: 1$ $det A = det A' = +1$	$A = \begin{bmatrix} \tilde{u} & 0 \\ 0 & 1/\tilde{u} \end{bmatrix} \quad M = \begin{bmatrix} 1 & -\tilde{u} \\ 0 & 0 \end{bmatrix} \quad N = \begin{bmatrix} 0 & 0 \\ \tilde{u} & 1 \end{bmatrix}$ $H = \begin{bmatrix} 0 & \tilde{u} \\ -\tilde{u} & 0 \end{bmatrix} \quad H' = \begin{bmatrix} 0 & -1/\tilde{u} \\ 1/\tilde{u} & 0 \end{bmatrix} \quad A' = \begin{bmatrix} 1/\tilde{u} & 0 \\ 0 & \tilde{u} \end{bmatrix}$	
NIK Negativ Immittanz Konverter aktiv, antireziprok, für $ k =1$ symmetrisch		$k=1 : F \text{ ist an der } i_1 \text{-Achse}$ gespiegelter Zweipol $k=-1 : F \text{ ist an der } u_1 \text{-Achse}$ gespiegelter Zweipol	$A = \begin{bmatrix} -k & 0 \\ 0 & 1/k \end{bmatrix} \quad M = \begin{bmatrix} 1 & k \\ 0 & 0 \end{bmatrix} \quad N = \begin{bmatrix} 0 & 0 \\ 1 & 1/k \end{bmatrix} \quad k \in \mathbb{R}$ $H = \begin{bmatrix} 0 & -k \\ -k & 0 \end{bmatrix} \quad H' = \begin{bmatrix} 0 & -1/k \\ -1/k & 0 \end{bmatrix} \quad A' = \begin{bmatrix} -1/k & 0 \\ 0 & k \end{bmatrix}$	

## Klassifizierung der Zweitore anhand der Kettenmatrix A

- alle vier Einträge gleich Null  $\Rightarrow$  Nullor
- drei Einträge gleich Null  $\Rightarrow$  gesteuerte Quelle
- zwei Einträge gleich Null  $\Rightarrow$  INVERTER / KONVERTER

	INVERTER (z.B. Gyrator)	KONVERTER (z.B. NIK; PIK)
positiv	$\begin{bmatrix} 0 & R \\ 1/R & 0 \end{bmatrix}$	$\begin{bmatrix} 1/\bar{u} & 0 \\ 0 & \bar{u} \end{bmatrix}$
negativ	$\begin{bmatrix} 0 & R \\ -1/R & 0 \end{bmatrix}$	$\begin{bmatrix} -k & 0 \\ 0 & 1/k \end{bmatrix}$
	Strom $\Leftrightarrow$ Spannung	Strom $\Leftrightarrow$ Strom; Spannung $\Leftrightarrow$ Spannung

- Leistung:  $p = \underline{u}^T \underline{i}$
- Verlustlosigkeit:  $\forall \begin{bmatrix} \underline{u} \\ \underline{i} \end{bmatrix} \in F: \underline{u}^T \underline{i} = 0$   
bzw.  $\underline{U}^T \underline{I} + \underline{I}^T \underline{U} = 0$
- Passivität:  $\forall \begin{bmatrix} \underline{u} \\ \underline{i} \end{bmatrix} \in F: \underline{u}^T \underline{i} \geq 0$
- Aktivität:  $\exists \begin{bmatrix} \underline{u} \\ \underline{i} \end{bmatrix} \in F: \underline{u}^T \underline{i} < 0$
- Reziprozität:  $\underline{U}^T \underline{I} - \underline{I}^T \underline{U} = 0; G = G^T; R = R^T; \det A = 1; \det A' = 1$   
Netzwerk besteht nur aus R, C, L  $\Rightarrow$  reziprok
- Dualität:  $\underline{f}^d \begin{bmatrix} \underline{u} \\ \underline{i} \end{bmatrix} = \underline{f} \begin{bmatrix} 0 & R_d E \\ \frac{1}{R_d} E & 0 \end{bmatrix} \begin{bmatrix} \underline{u} \\ \underline{i} \end{bmatrix} \quad G^d = \frac{1}{R_d^2} R \quad R^d = R_d^2 G$
- Symmetrie:  $\underline{f}^u \begin{bmatrix} \underline{u} \\ \underline{i} \end{bmatrix} = \underline{f}(P \cdot \underline{u}, P \cdot \underline{i})$  mit  $P = \begin{bmatrix} 0 & 1 \\ 1 & 0 \end{bmatrix} = P^{-1} \quad \begin{matrix} G = PGP \\ R = PRP \\ A = A' \end{matrix}$   
z.B.:  $g_{11} = g_{22}$  und  $g_{12} = g_{21}$

## Die Umrechnungstabelle der Zweitor-Matrizen:

	$R$	$G$	$H$	$H'$	$A$	$A'$
$R$	$\begin{bmatrix} r_{11} & r_{12} \\ r_{21} & r_{22} \end{bmatrix}$	$\frac{1}{\det G} \begin{bmatrix} g_{22} & -g_{12} \\ -g_{21} & g_{11} \end{bmatrix}$	$\frac{1}{h_{22}} \begin{bmatrix} \det H & h_{12} \\ -h_{21} & 1 \end{bmatrix}$	$\frac{1}{h'_{11}} \begin{bmatrix} 1 & -h'_{12} \\ h'_{21} & \det H' \end{bmatrix}$	$\frac{1}{a_{21}} \begin{bmatrix} a_{11} \det A & 1 \\ 1 & a_{22} \end{bmatrix}$	$\frac{1}{a'_{21}} \begin{bmatrix} a'_{22} & 1 \\ \det A' & a'_{11} \end{bmatrix}$
$G$	$\frac{1}{\det R} \begin{bmatrix} r_{22} & -r_{12} \\ -r_{21} & r_{11} \end{bmatrix}$	$\begin{bmatrix} g_{11} & g_{12} \\ g_{21} & g_{22} \end{bmatrix}$	$\frac{1}{h_{11}} \begin{bmatrix} 1 & -h_{12} \\ h_{21} & \det H \end{bmatrix}$	$\frac{1}{h'_{22}} \begin{bmatrix} \det H' & h'_{12} \\ -h'_{21} & 1 \end{bmatrix}$	$\frac{1}{a_{12}} \begin{bmatrix} a_{22} - \det A & 1 \\ -1 & a_{11} \end{bmatrix}$	$\frac{1}{a'_{12}} \begin{bmatrix} a'_{11} & -1 \\ -\det A' & a'_{22} \end{bmatrix}$
$H$	$\frac{1}{r_{22}} \begin{bmatrix} \det R & r_{12} \\ -r_{21} & 1 \end{bmatrix}$	$\frac{1}{g_{11}} \begin{bmatrix} 1 & -g_{12} \\ g_{21} & \det G \end{bmatrix}$	$\begin{bmatrix} h_{11} & h_{12} \\ h_{21} & h_{22} \end{bmatrix}$	$\frac{1}{\det H'} \begin{bmatrix} h'_{22} & -h'_{12} \\ -h'_{21} & h'_{11} \end{bmatrix}$	$\frac{1}{a_{22}} \begin{bmatrix} a_{12} \det A & 1 \\ -1 & a_{21} \end{bmatrix}$	$\frac{1}{a'_{11}} \begin{bmatrix} a'_{12} & 1 \\ -\det A' & a'_{21} \end{bmatrix}$
$H'$	$\frac{1}{r_{11}} \begin{bmatrix} 1 & -r_{12} \\ r_{21} & \det R \end{bmatrix}$	$\frac{1}{g_{22}} \begin{bmatrix} \det G & g_{12} \\ -g_{21} & 1 \end{bmatrix}$	$\frac{1}{\det H} \begin{bmatrix} h_{22} & -h_{12} \\ -h_{21} & h_{11} \end{bmatrix}$	$\begin{bmatrix} h'_{11} & h'_{12} \\ h'_{21} & h'_{22} \end{bmatrix}$	$\frac{1}{a_{11}} \begin{bmatrix} a_{21} - \det A & 1 \\ 1 & a_{12} \end{bmatrix}$	$\frac{1}{a'_{22}} \begin{bmatrix} a'_{21} & -1 \\ \det A' & a'_{12} \end{bmatrix}$
$A$	$\frac{1}{r_{21}} \begin{bmatrix} r_{11} \det R & 1 \\ 1 & r_{22} \end{bmatrix}$	$\frac{1}{g_{21}} \begin{bmatrix} -g_{22} & -1 \\ -\det G & -g_{11} \end{bmatrix}$	$\frac{1}{h_{21}} \begin{bmatrix} -\det H & -h_{11} \\ -h_{22} & -1 \end{bmatrix}$	$\frac{1}{h'_{21}} \begin{bmatrix} 1 & h'_{22} \\ h'_{11} & \det H' \end{bmatrix}$	$\begin{bmatrix} a_{11} & a_{12} \\ a_{21} & a_{22} \end{bmatrix}$	$\frac{1}{\det A'} \begin{bmatrix} a'_{22} & a'_{12} \\ a'_{21} & a'_{11} \end{bmatrix}$
$A'$	$\frac{1}{r_{12}} \begin{bmatrix} r_{22} \det R & 1 \\ 1 & r_{11} \end{bmatrix}$	$\frac{1}{g_{12}} \begin{bmatrix} -g_{11} & -1 \\ -\det G & -g_{22} \end{bmatrix}$	$\frac{1}{h_{12}} \begin{bmatrix} 1 & h_{11} \\ h_{22} & \det H \end{bmatrix}$	$\frac{1}{h'_{12}} \begin{bmatrix} -\det H' & -h'_{22} \\ -h'_{11} & -1 \end{bmatrix}$	$\frac{1}{\det A} \begin{bmatrix} a_{22} & a_{12} \\ a_{21} & a_{11} \end{bmatrix}$	$\begin{bmatrix} a'_{11} & a'_{12} \\ a'_{21} & a'_{22} \end{bmatrix}$

## Beschreibungsformen:

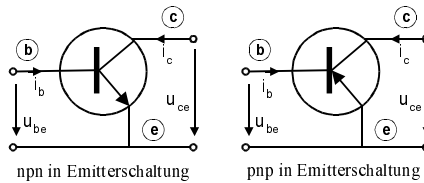
	implizite Darstellung	Parameterdarstellung	explizite Darst.
streng linear	$F = \text{Kern}[M N] = \left\{ \begin{bmatrix} \underline{u} \\ \underline{i} \end{bmatrix} \mid [M N] \begin{bmatrix} \underline{u} \\ \underline{i} \end{bmatrix} = 0 \right\}$ $\text{Rang}[M N] = p$	$F = \text{Bild} \begin{bmatrix} U \\ I \end{bmatrix} = \left\{ \begin{bmatrix} \underline{u} \\ \underline{i} \end{bmatrix} \mid \begin{bmatrix} \underline{u} \\ \underline{i} \end{bmatrix} = \begin{bmatrix} U \\ I \end{bmatrix} \cdot \underline{c}, \underline{c} \in \mathbb{R}^2 \right\}$ $\text{Rang} \begin{bmatrix} U \\ I \end{bmatrix} = p$ Betriebsmatrix: $\begin{bmatrix} U \\ I \end{bmatrix} = \begin{bmatrix} \underline{u}^{(1)} & \underline{u}^{(2)} \\ \underline{i}^{(1)} & \underline{i}^{(2)} \end{bmatrix}$	$\underline{i} = G \underline{u}$ $\underline{u} = R \underline{i}$
nicht quellenfrei	$F = \text{Kern}[M N] + \begin{bmatrix} \underline{u}_0 \\ \underline{i}_0 \end{bmatrix}$	$F = \text{Bild} \begin{bmatrix} U \\ I \end{bmatrix} + \begin{bmatrix} \underline{u}_0 \\ \underline{i}_0 \end{bmatrix}$	$\underline{i} = G \underline{u} + \underline{i}_g$ $\underline{u} = R \underline{i} + \underline{u}_r$ usw.

## Zusammenschaltung von Zweitoren:

Parallel-schaltung		$\underline{g}_{\text{ges}} = \underline{g}_1 + \underline{g}_2 \quad G_{\text{ges}} = G_1 + G_2 \quad R = R_1 (R_1 + R_2)$
Serien-schaltung		$\underline{r}_{\text{ges}} = \underline{r}_1 + \underline{r}_2 \quad R_{\text{ges}} = R_1 + R_2 \quad G = G_1 (G_1 + G_2)$
Hybride Verschaltung		$\underline{h}_{\text{ges}} = \underline{h}_1 + \underline{h}_2 \quad \underline{h}'_{\text{ges}} = \underline{h}'_1 + \underline{h}'_2$ $H_{\text{ges}} = H_1 + H_2 \quad H'_{\text{ges}} = H'_1 + H'_2$
Kettenschaltung		$\underline{a}_{\text{ges}} = \underline{a}_1 \cdot \underline{a}_2 \quad \begin{matrix} A_{\text{ges}} = A_1 \cdot A_2 \\ A'_{\text{ges}} = A'_1 \cdot A'_2 \end{matrix} \quad \begin{bmatrix} \underline{u}_1 \\ \underline{i}_1 \end{bmatrix} = \underline{a}_{\text{ges}} \begin{bmatrix} \underline{u}_2 \\ -\underline{i}_2 \end{bmatrix} = \underline{a}_1 \left( \underline{a}_2 \begin{bmatrix} \underline{u}_2 \\ -\underline{i}_2 \end{bmatrix} \right)$

## Transistoren

- Der Strom zur jeweiligen Bezugsklemme kommt nicht vor! (z.B.  $i_e$ )
- Diodenrichtung:  $p \oplus \rightarrow \ominus n$
- Transistoren sind immer passiv!



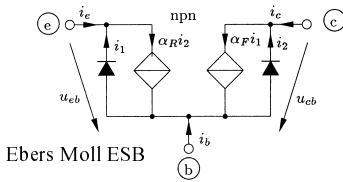
In Emitterschaltung gilt:

$$i_b = I_s \left( \exp \left( \frac{u_{be}}{U_T} \right) - 1 \right)$$

$$i_c = \beta i_b$$

$$u_{be} = U_T \ln \left( 1 + \frac{i_b}{I_s} \right)$$

### Ersatzschaltungen:



$u_{cb} > 0$  npn Transistor in Emitterschaltung, Vorwärtsbetrieb!

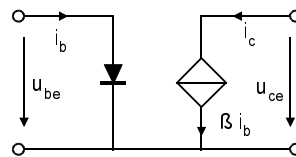
(pnp: Diode umdrehen! Kleinsignal ESB sind für pnp und npn identisch!)

Hybridmatrix H der Emitterschaltung:

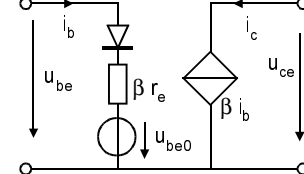
$r_e$  : Eingangswiderstand  
 $\beta$  : Stromverstärkung  
 $\mu$  : Spannungsrückwirkung  
 $g$  : Ausgangsleitwert

$$\begin{bmatrix} \Delta u_{be} \\ \Delta i_c \end{bmatrix} \approx \begin{bmatrix} r_e = \frac{\Delta u_{be}}{\Delta i_b} & \mu = \frac{\Delta u_{be}}{\Delta u_{ce}} \\ \beta = \frac{\Delta i_c}{\Delta i_b} & g = \frac{\Delta i_c}{\Delta u_{ce}} \end{bmatrix} \begin{bmatrix} \Delta i_b \\ \Delta u_{ce} \end{bmatrix}$$

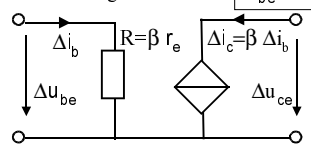
Grosssignal ESB I:



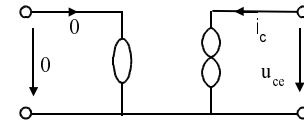
ESB II : Stückweise linear mit konkavem Widerstand



lin. Kleinsignal ESB:



Dreipolnullor:



### Kenngrößen des Transistors:

- Stromverstärkung:

$$\beta = v_i = \frac{i_c}{i_b}$$

- Verlustleistung:

$$P_V = U_{be} I_b + U_{ce} I_c \approx I_c U_{ce}$$

- Eingangswiderstand  $r_e = \frac{1}{g_m}$  :  
 (Transferwiderstand)

$$\frac{\Delta i_b}{\Delta u_{be}} = \frac{g_m}{\beta} \Rightarrow r_e = \frac{\Delta u_{be}}{\Delta i_b} = \frac{U_T}{-i_e}$$

- Kleinsignalverstärkung:  
 (Spannungsverstärkung)

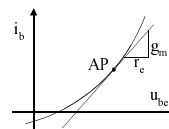
$$v_u = \frac{\Delta u_{out}}{\Delta u_{in}}$$

- Leistungsverstärkung:

$$v_p = v_u \cdot v_i = \beta_F = \frac{\Delta u_{out} \cdot \Delta i_{out}}{\Delta u_{in} \cdot \Delta i_{in}}$$

- Kleinsignalleitwert / Steilheit:  $g_m = \frac{\Delta i_c}{\Delta u_{be}} \Big|_{AP}$

Eingangskennlinie:



### Arbeitspunktbestimmung:

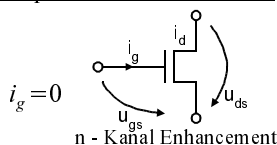
- Kirchhoffgleichungen aufstellen (meist  $u = u'$ ,  $i = -i'$ ) ( $u', i'$ ) sind Quellenkenngrößen
- ( $u', i'$ ) eliminieren, durch ( $u, i$ ) ersetzen
- in Koordinatensystem eintragen, Schnittpunkt der Kennlinien ist AP.

$$\left. \begin{array}{l} U_{be} = U_0 + R_i i_e : \text{Quellenkennlinie } Q \\ U_{be} = U_0 - R_i i_e : \text{externe Quellenkennlinie } Q^x \end{array} \right\} \Rightarrow U_{BE} = 0 \Rightarrow U_0 = R_i i_0 \text{ (bei } Q^x) \Rightarrow i_0 = \frac{R_i}{u_0}$$

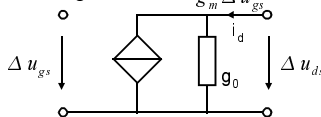
$\Rightarrow$  Punkte  $(U_0, 0)$  und  $(0, i_0)$  einzeichnen und als Gerade verbinden ( $Q^x$ )

- Schnittpunkt  $Q^x$  mit Transistorkennlinie ist **AP**
- im Eingangskennlinienfeld haben kleine Änderungen der Steigung von  $Q^x$  eine große Verschiebung des AP zur Folge!

### Unipolartransistoren: FET



Kleinsignal ESB:

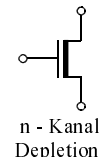
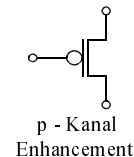


Innenleitwert:

$$g_0 = \frac{\partial i_d}{\partial u_{ds}} \Big|_{AP}$$

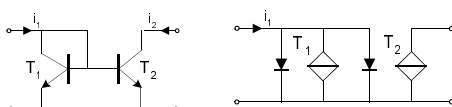
Steilheit:

$$g_m = \frac{\partial i_d}{\partial u_{gs}} \Big|_{AP}$$

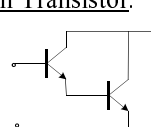


### Stromspiegel:

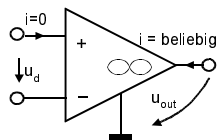
ideal:  $u_1 = 0$   
 $i_1 = i_2$



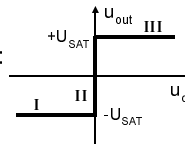
### Darlington Transistor:



# Operationsverstärker

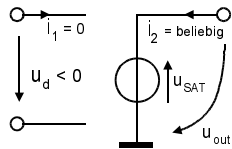


Kennlinie des idealen OpAmps:

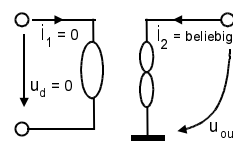


- In den Sättigungsbereichen kennt man  $u_{out}$  immer:  $u_{out} = \pm U_{Sat}$
- Wird der OpAmp im streng linearen Bereich betrieben, sofort ESB II verwenden!!

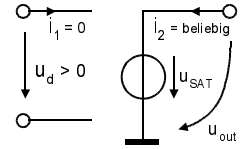
ESB I:  $u_d < 0$ ;  $u_{out} = -U_{Sat}$



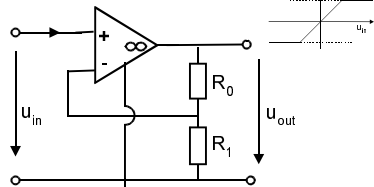
ESB II:  $u_d = 0$ ;  $|u_{out}| \leq |U_{Sat}|$



ESB III:  $u_d > 0$ ;  $u_{out} = U_{Sat}$



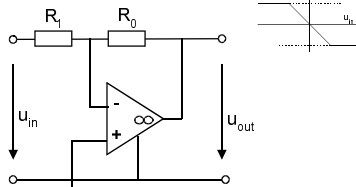
Nichtinvertierender Verstärker:



$$u_{out} = \left(1 + \frac{R_0}{R_1}\right) u_{in}$$

Spannungsverstärkung:  $v_u = 1 + \frac{R_0}{R_1}$

Invertierender Verstärker:

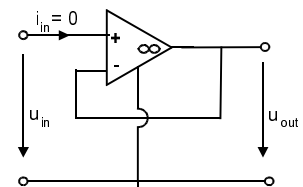


$$u_{out} = -\frac{R_0}{R_1} u_{in}$$

Spannungsverstärkung:  $v_u = -\frac{R_0}{R_1}$

Addierer:  
Mehrfacheinkopplung:  $u_{out} = -R_0 \sum_i \frac{u_i}{R_i}$

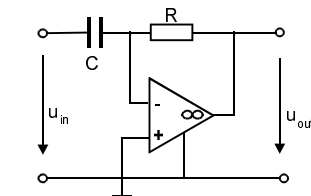
Spannungsfolger: = Nicht invertierender Verstärker  
= Impedanzwandler mit  $v_u = 1$



$$u_{out} = u_{in}$$

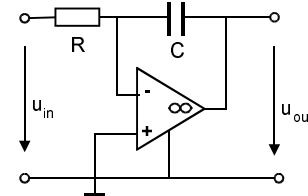
Eingang: nicht belastet  $i_{in} = 0$   
Ausgang: hohe Ströme  $v_u = 1$

Differenzierer:



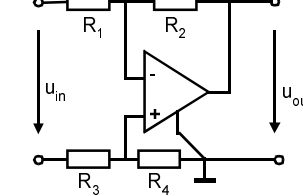
$$u_{out} = -RC \cdot \dot{u}_{in}$$

Integrierer:



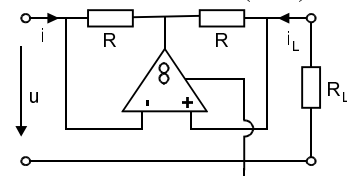
$$u_{out} = -u_c(t_0) - \frac{1}{RC} \int_{t_0}^t u_{in} dt$$

Potentialdifferenzverstärker:

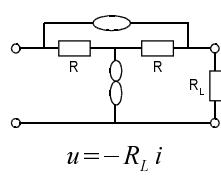


$$u_{out} = \frac{-R_2}{R_1} u_{in} = \frac{-R_4}{R_3} u_{in} \quad \text{Bed. } \frac{R_1}{R_2} = \frac{R_3}{R_4}$$

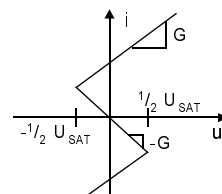
Negativimmittanzkonverter (NIK):



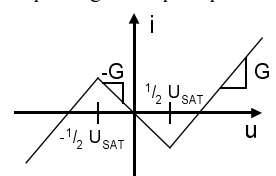
Nullmodell:



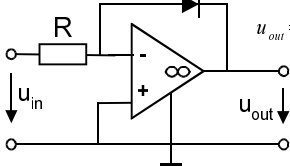
$$u = -R_L i$$



Umpolung des OpAmp:

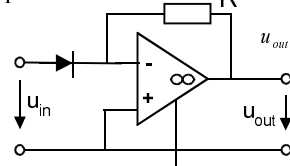


Logarithmierer:



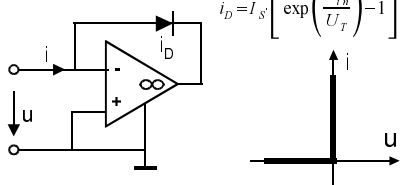
$$u_{out} = -U_T \ln \frac{u_{in}}{R \cdot I_S}$$

Exponentierer:



$$u_{out} = -R \cdot I_S \cdot \exp\left(\frac{u_{in}}{U_T}\right)$$

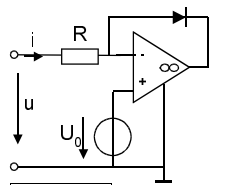
Ideale Diode:



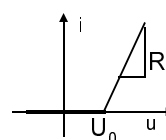
$$i_D = I_S \left[ \exp\left(\frac{u_{in}}{U_T}\right) - 1 \right]$$

Umgepolte ideale Diode: pn - Diode umpolen

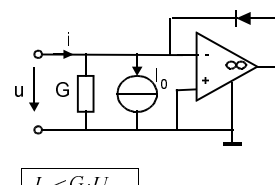
Konkaver Widerstand:



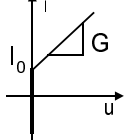
$$U_0 < U_{Sat}$$



Konvexer Widerstand:



$$I_0 < G \cdot U_{Sat}$$



Gyrator:

Parallelschaltung zweier USI oder  
Serienschaltung zweier ISU  
oder:  
Kettenschaltung eines NIK ( $k = -1$ )  
mit einem NII

USU mit  $\mu > 1$  = Nichtinvertierender Verstärker

$\mu < 0$  Invertierendem Verstärker und Spannungsfolger in Kette

ISU mit  $r < 0$  = Invertierender Verstärker ohne  $R_1$

$r > 0$  zusätzlich invertierenden Verstärker mit  $v_u = -1$  nachschalten

# Analyseverfahren

A Knoteninzenzmatrix  
B Schleifeninzenzmatrix

## Verbindungsmehrtor:

$$\text{Rang} \begin{bmatrix} B' & 0 \\ 0 & A' \end{bmatrix} = \text{Rang} [M N] = b$$

Jede Knotenpunktgleichung steht auf jeder Schleifengleichung senkrecht:  $A' B'^T = 0$

## Eigenschaften des Verbindungsmehrtors:

n Knoten (Nodes)  
b Anzahl der Kanten (Zweige, Branches) = Anz. der Tore p  
Zeitinvariant, streng linear, verlustlos, reziprok

$$\Leftrightarrow U^T I = 0 \quad \text{Tellegen'scher Satz}$$

## Baumkonzept (= Schleifenanalyse, oder Schnittmengenanalyse)

Jeder Torspannungsvektor des VMT steht auf jedem Torstromvektor des VMT senkrecht

### - Netzwerkgraph zeichnen: Baum muß folgende drei Eigenschaften erfüllen:

Baum ist ein zusammenhängender Graph - Er enthält alle Knoten - und hat keine Schleifen  
Erst Baumzweige, dann Verbindungskanten fortlaufend nummerieren.  
Es gibt  $\det(A A^T)$  verschiedenen Bäume im Netzwerkgraphen.

Anzahl der Baumzweige:  $(n-1)$

Anzahl der Verbindungskanten:  $\frac{s = b - (n-1)}{b} = \text{Anzahl der linear unabh. Schleifengleichungen}$

### - Aufstellen der linear unabh. Maschengleichungen:

Eine Schleife enthält nur eine Verbindungskante, sonst nur Baumzweige

$$\Rightarrow B \cdot \underline{u} = \begin{bmatrix} B_b & E_s \end{bmatrix} \begin{bmatrix} \underline{u}_b \\ \underline{u}_v \end{bmatrix} = 0$$

### - Aufstellen der linear unabh. Knotengleichungen:

Superknoten enthält nur eine Baumkante, sonst nur Verbindungskanten

$$\Rightarrow \begin{bmatrix} E_{n-1} & -B_b^T \end{bmatrix} \begin{bmatrix} \underline{i}_b \\ \underline{i}_v \end{bmatrix} = 0$$

vollständige Beschr. des Verbindungsmehrtors:

$$\left\{ \begin{bmatrix} B_b & E_s & 0 & 0 \\ 0 & 0 & E_{n-1} & -B_b^T \end{bmatrix} \cdot \begin{bmatrix} \underline{u}_b \\ \underline{u}_v \\ \underline{i}_b \\ \underline{i}_v \end{bmatrix} = \begin{bmatrix} 0 \\ 0 \end{bmatrix} \right.$$

## Knotenspannungsanalyse:

$$\begin{bmatrix} -A^T & E_b & 0 \\ 0 & 0 & A \end{bmatrix} \begin{bmatrix} \underline{u}_k \\ \underline{u} \\ \underline{i} \end{bmatrix} = \begin{bmatrix} 0 \\ 0 \end{bmatrix}$$

$b + (n-1)$  Gleichungen

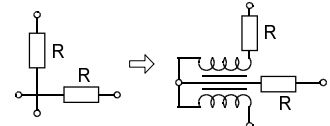
- (n-1) zusätzliche Kanten zwischen Bezugsnoten und übrigen (n-1) Knoten
- diese sind unbeschaltet und dienen ausschließlich als Meßtore.
- Das Aufstellen des Baumes entfällt
- A kann durch Augenschein aufgestellt werden (A = Knoteninzenzmatrix)
- gut bei stark vermaschten Netzwerken ( $b \gg n$ )

## Maschenstromanalyse:

$$\begin{bmatrix} B & 0 & 0 \\ 0 & E_b & -B^T \end{bmatrix} \begin{bmatrix} \underline{u} \\ \underline{i} \\ \underline{i}_m \end{bmatrix} = \begin{bmatrix} 0 \\ 0 \end{bmatrix}$$

$(b+s)$  Gleichungen

- nur bei planaren Netzwerken!
- durch ideale Übertrager ( $\dot{u}=1$ ) kann ein nichtplanarer Graph in einen planaren Graph überführt werden, dabei steigt die Anzahl der Kanten um zwei pro idealem Übertrager
- gut bei schwach vermaschten Netzwerken ( $b \approx n$ )



## Tableaugleichungen:

$$\begin{matrix} KVL \\ KCL \\ Nwel. \end{matrix} \begin{bmatrix} B & 0 \\ 0 & A \\ M & N \end{bmatrix} \begin{bmatrix} \underline{u} \\ \underline{i} \end{bmatrix} = \begin{bmatrix} 0 \\ 0 \\ \underline{e} \end{bmatrix} \begin{matrix} s \\ (n-1) \\ b \end{matrix}$$

Gleichungen:  $\frac{2b}{2b}$

lin. Netzwerkelemente  $\Rightarrow M u + N i = e$   
 $\underline{e}$ : Erregungsvektor aller unabhängiger Quellen  
eindeutige Lösung des  
Tableaugleichungssystems wenn  $\det T(t_0) \neq 0$

### - Knotentableausystem:

$$\begin{matrix} KVL \\ KCL \\ Nwel. \end{matrix} \begin{bmatrix} -A^T & E_b & 0 \\ 0 & 0 & A \\ 0 & M & N \end{bmatrix} \begin{bmatrix} \underline{u}_k \\ \underline{u} \\ \underline{i} \end{bmatrix} = \begin{bmatrix} 0 \\ 0 \\ \underline{e} \end{bmatrix} \begin{matrix} b \\ (n-1) \\ b \end{matrix}$$

Gleichungen:  $2b + (n-1)$

### - Maschentableausystem:

$$\begin{matrix} KVL \\ KCL \\ Nwel. \end{matrix} \begin{bmatrix} B & 0 & 0 \\ 0 & E_b & -B^T \\ M & N & 0 \end{bmatrix} \begin{bmatrix} \underline{u} \\ \underline{i} \\ \underline{i}_m \end{bmatrix} = \begin{bmatrix} 0 \\ 0 \\ \underline{e} \end{bmatrix} \begin{matrix} s \\ b \\ b \end{matrix}$$

Gleichungen:  $2b + s$

- Nichtlineares Tableaugleichungssystem:  $\begin{bmatrix} B & 0 \\ 0 & A \end{bmatrix} \begin{bmatrix} \underline{u} \\ \underline{i} \end{bmatrix} = \underline{0} \quad h(u, i, t) = 0 \quad \text{je } p \text{ Gleichungen in } 2p \text{ Variablen}$

## Reduzierte Knotenspannungsanalyse / Maschenstromanalyse:

Umformen des Knotentableausystems:

- red. Knotenleitwertmatrix  $Y_k$   
 $\boxed{Y_k = A Y A^T} = A (-N^{-1} M) A^T$

- Knoten-Stromquellenvektor  $\underline{i}_q$ :  
 $\boxed{\underline{i}_q = -A \underline{i}_0} \quad \boxed{Y_k \underline{u}_k = \underline{i}_q}$

$Y = \text{Kantenleitwertmatrix}$   
 $Y_k = (n-1) \text{ Gleichungen}$

Umformen des Maschentableausystems:

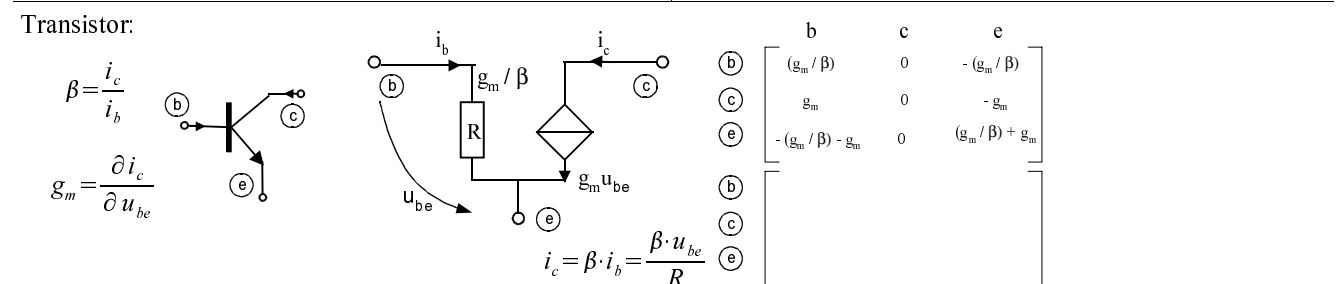
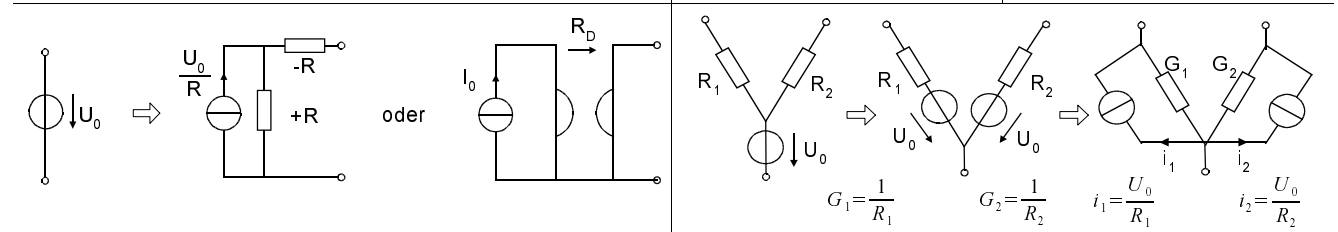
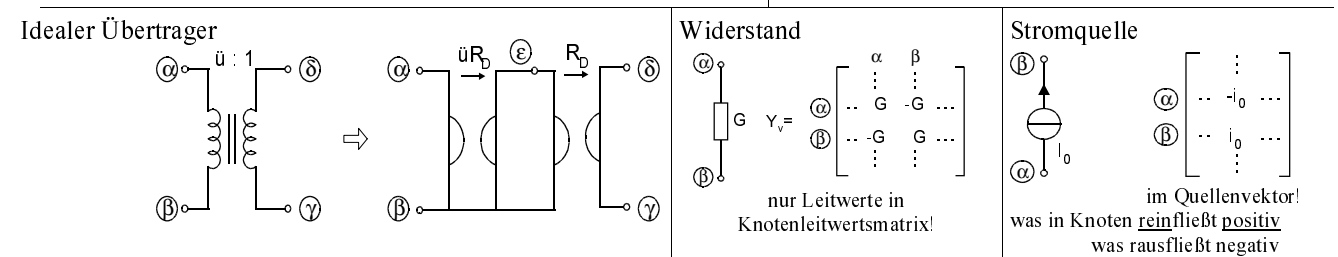
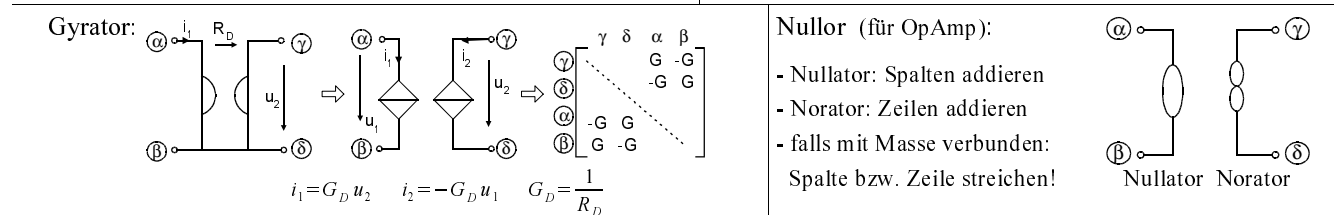
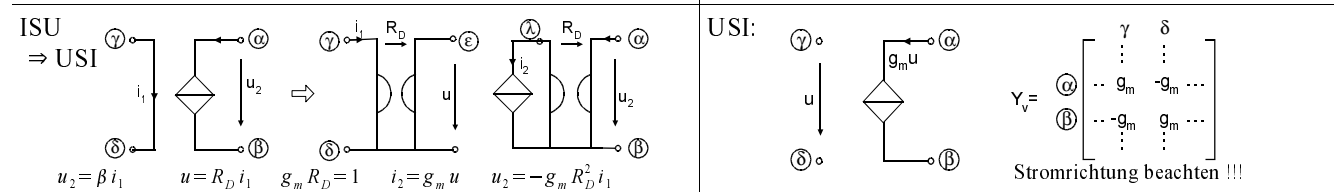
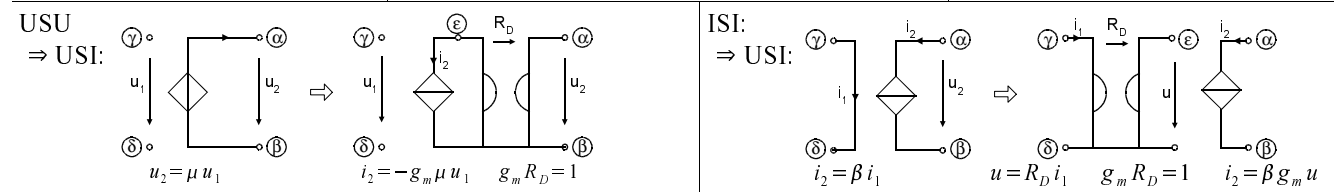
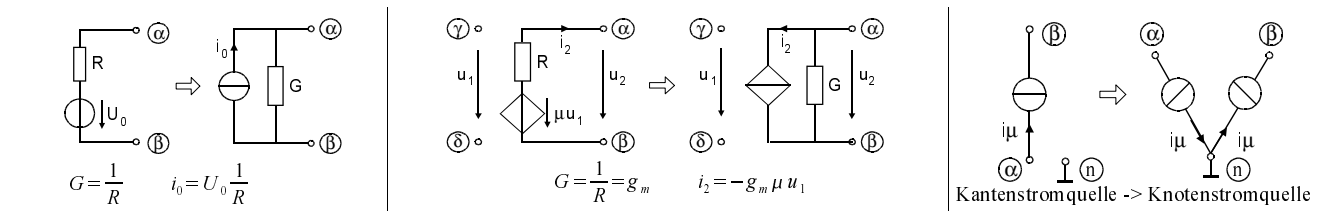
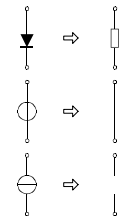
- Maschenwiderstandsmatrix  $Z_m$   
 $\boxed{Z_m = B (-M^{-1} N) B^T}$

- Maschen-Stromquellenvektor  $\underline{u}_q$   
 $\boxed{\underline{u}_q = -B \underline{u}_0 = -B M^{-1} \underline{e}} \quad \boxed{Z_m \underline{i}_m = \underline{u}_q}$

$Z_m = s \text{ Gleichungen}$

# Direktes Aufstellen der reduzierten Knotenleitwertsmatrix (komplexe KSA)

1. Nichtspannungsgesteuerte Elemente erstzen!
2. Schrittweise Knotenleitwertsmatrix  $Y$  aufstellen:  $Y_k \underline{u}_k = \underline{i}_q$ 
  - Bezugsknoten weglassen!
  - komplex  $j\omega C$  und  $1/j\omega L$  Im Prinzip wie  $G$  und  $R$
3. Gesteuerte Quellen: Steuerleitwerte eintragen.
4. Gyrator einbauen (entsprechende Zeile / Spalte streichen!)
6. Knotenstromquellenvektor  $\underline{i}_q$  aufstellen



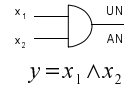
# Logik

De Morgansche Gesetze:

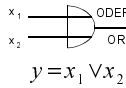
$$\overline{x_1 \wedge x_2} = \overline{x_1} \vee \overline{x_2}$$

$$\overline{x_1 \vee x_2} = \overline{x_1} \wedge \overline{x_2}$$

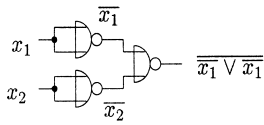
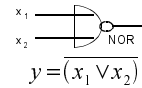
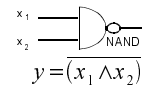
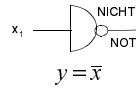
Konjunktion



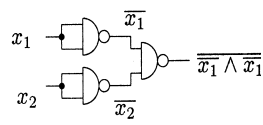
Disjunktion



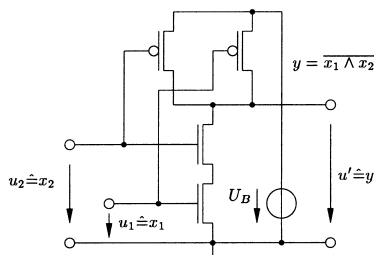
Negation



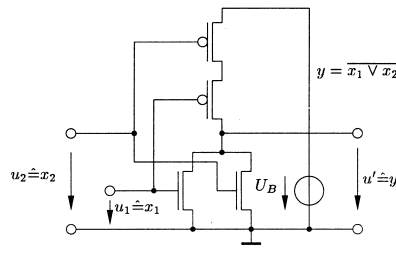
AND mit NOR



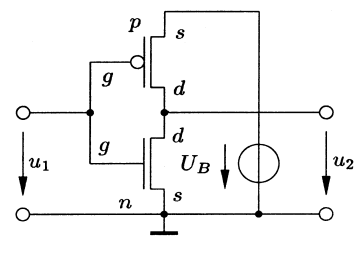
OR mit NAND



CMOS - NAND

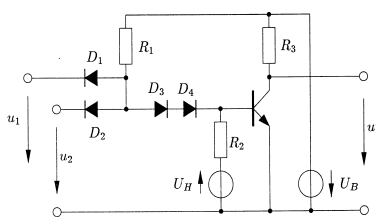


CMOS - NOR

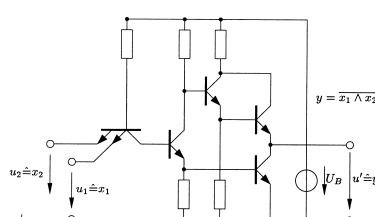


CMOS - Inverter

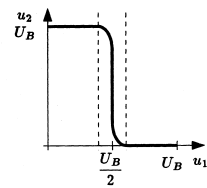
CMOS AND / OR : p- und n- Kanal Transistoren vertauschen!



DTL - NAND




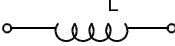
TTL - NAND



CMOS - Übertragungscharakteristik



## Reaktive Netzwerkelemente

	allgemein	linear	komplex
<b>Kapazität</b>  $[C] = \frac{C}{V} = \frac{As}{V} = F$ $[Q] = C = As$	$q(t) = q_0 + \int_{t_0}^t i(\tau) d\tau$ $i(t) = \frac{\partial q(t)}{\partial t} = \dot{q}$	$q(t) = C u(t)$ $i(t) = C \dot{u}(t)$	$I = Y U$ $Z = \frac{1}{j \omega C}$ $Y = j \omega C$
<b>Induktivität</b>  $[L] = \frac{Wb}{A} = \frac{Vs}{A} = H$ $[\Phi] = Wb = Vs$	$\phi(t) = \phi_0 + \int_{t_0}^t u(\tau) d\tau$ $u(t) = \frac{\partial \phi(t)}{\partial t} = \dot{\phi}$	$\phi(t) = L i(t)$ $u(t) = L \dot{i}(t)$	$U = Z I$ $Z = j \omega L$ $Y = \frac{1}{j \omega L}$

- Kapazität des Plattenkondensators:  $C = \epsilon_0 \frac{A}{d}$

- Memristor:  $u_M(t) = \dot{\phi}(t)$      $i_M(t) = \dot{q}(t)$

### Energiebetrachtungen:

- ideale Reaktanzen sind verlustlos. Außer ihre Kennlinie ermöglicht zwei verschiedene Wege um von einem Punkt.  $P_1$  zu  $P_2$  zu gelangen. (Hysterese - Kennlinie)

- im stationären Fall ist der Leistungsfluß Null.  $u(t) = const$      $i(t) = const \Rightarrow i = \partial q / \partial t = 0 \Rightarrow p = u \cdot i = 0$

- Energieänderung:  $W_C(t_1, t_2) = W_C(q_1, q_2) = \int_{q_1}^{q_2} u(q) dq = \frac{1}{2C} (q_2^2 - q_1^2) = \frac{C}{2} (u_2^2 - u_1^2)$     Flächen abschnittsweise berechnen!

- gespeicherte Energie:  $E_C(q_1) = E_C(u_1) = \frac{1}{2C} q_1^2 = \frac{1}{2} C u_1^2$      $E_L(\phi_1) = E_L(i_1) = \frac{1}{2L} \phi_1^2 = \frac{1}{2} L i_1^2$

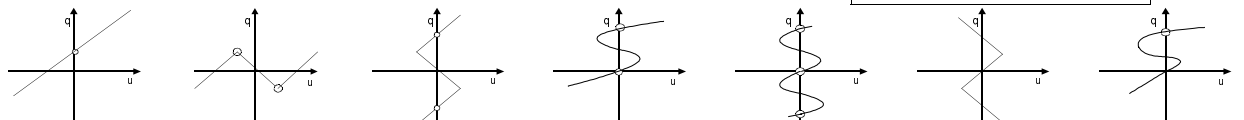
- Relaxpunkte: (Ruhepunkte) energetisch tiefste Punkte der Kennlinie

Kandidaten für Relaxpunkte: Knick, Wendestelle (Sinus), Schnittpunkt mit Koordinatenachse

- Energiebilanz:  $W_C > 0 \Leftrightarrow q$  steigt und  $u > 0$  oder  $q$  fällt und  $u < 0$

Für L:  $q$  durch  $\Phi$  und  $u$  durch  $i$  ersetzen

### Beispiele für Relaxationspunkte bei C:



wegen Symmetrie

$W_C > 0 \Rightarrow$  System nimmt Energie auf

Kein RP; Kennlinie verläuft im II u. IV Qdr. Energie beliebig groß

Ursprung kein symmetrisch!

**Mehrfachcharakter der Netzwerkelemente:**  $f_R(u, i) = 0$ ;  $f_C(u, q) = 0$ ;  $f_L(i, \Phi) = 0$ ;  $f_M(\Phi, q) = 0$

- Nullator, Norator, Leerlauf und Kurzschluss sind Kapazitiv, induktiv, resistiv und memristiv

- Spannungsquellen sind resistiv und kapazitiv

- Stromquellen sind resistiv und induktiv

### Zusammenschaltung reaktiver Eintore:

- Parallelschaltung: Funktionsaddition in der  $u-q$ -Ebene  $C_p = C_1 + C_2$      $U_C = U_1 = U_2$      $L_p = L_1 \parallel L_2 = \frac{L_1 L_2}{L_1 + L_2}$      $i_L = i_1 + i_2$

- Serienschaltung: Funktionsaddition in der  $q-u$ -Ebene  $C_s = C_1 \parallel C_2 = \frac{C_1 C_2}{C_1 + C_2}$      $U_C = U_1 + U_2$      $L_s = L_1 + L_2$      $i_L = i_1 = i_2$

- In einem rein kapazitiven oder rein induktiven Netzwerken kann man rechnen wie bei einem resistiven Netzwerk gleicher Struktur, wenn man  $C$  wie  $G$  und  $L$  wie  $R$  behandelt.

### Umwandlung resistiver Beschreibung in reaktive Beschreibungsform:

- Bedingungen: - implizite resistive Beschreibung  $f_R(u, i) = 0$  zerfällt in zwei unabhängige

Funktionen  $f_1(u) = 0$  und  $f_2(i) = 0$

- eine der zwei Funktionen muß streng linear sein!  $f_1(u) = M u \stackrel{!}{=} 0$  oder  $f_2(i) = N i \stackrel{!}{=} 0$

- durch Integration über die Zeit erhält man:  $f_1(\phi) = M \phi \stackrel{!}{=} 0$  bzw.  $f_2(q) = N q \stackrel{!}{=} 0$

Reaktive Beschreibung  $f_C(u, q) = \begin{bmatrix} f_1(u) \\ f_2(q) \end{bmatrix} = 0$  bzw.  $f_L(i, \phi) = \begin{bmatrix} f_1(\phi) \\ f_2(i) \end{bmatrix} = 0$

### Dualwandlung zwischen Reaktanzen:

Kapazität und Induktivität sind zueinander duale Klassen von Eintoren.

$$q = \frac{1}{R_d} \phi$$

$$u = i \cdot R_d$$

$$C = \frac{L}{R_d^2}$$

$$\Phi = q R_d$$

$$i = \frac{u}{R_d}$$

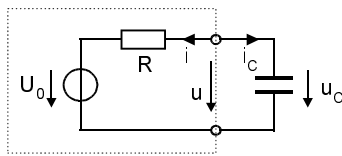
$$L = C R_d^2$$

# Schaltungen ersten Grades

## Lineare zeitinvariante Schaltung:

Eintorbeschaltung mit Helmholtz / Thévenin (C) bzw.

Mayer / Norton (L) :

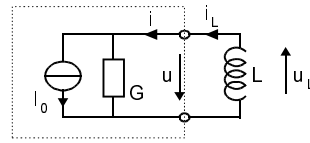


$$i_C = -i$$

$$i_C = C \cdot \dot{u}_C$$

$$u_C(t_\infty) = U_0$$

Zeitkonstante  $\tau = R \cdot C$



$$u_L = -u$$

$$u_L = L \cdot \dot{i}_L$$

$$i_L(t_\infty) = I_0$$

Zeitkonstante  $\tau = G \cdot L$

Aus Graph ablesen: - Aus der Steigung des Graphen:  $R = \frac{\Delta u}{\Delta i}$  bzw.  $G = \frac{\Delta i}{\Delta u}$

- Kennlinie verlängern bis zum Schnittpunkt mit der  $u$ - bzw.  $i$ - Achse  $\Rightarrow U_0$  bzw.  $I_0$

C durch LL ersetzen  $\Rightarrow u_C(t_\infty) = u$

L durch KS ersetzen  $\Rightarrow i_L(t_\infty) = i$

C durch Spannungsquelle  $u_C(t_0)$  ersetzen  $\Rightarrow u = u(t_0)$

L durch Stromquelle  $i_L(t_0)$  ersetzen  $\Rightarrow i = i(t_0)$

## Strom-, Spannungsverläufe bei konstanter Erregung:

- Differenzialgleichung 1. Grades:

$$\dot{u}_C = \frac{-1}{RC} u_C + \frac{1}{RC} u_0$$

$$\dot{i}_L = \frac{-1}{GL} i_L + \frac{1}{GL} I_0$$

- Lösung:

$$u_C(t) = u_C(t_\infty) + [u_C(t_0) - u_C(t_\infty)] \exp\left(-\frac{t-t_0}{\tau}\right)$$

$$i_C(t) = C \left(-\frac{1}{\tau}\right) \cdot [u_C(t_0) - u_C(t_\infty)] \exp\left(-\frac{t-t_0}{\tau}\right)$$

$$i_L(t) = i_L(t_\infty) + [i_L(t_0) - i_L(t_\infty)] \exp\left(-\frac{t-t_0}{\tau}\right)$$

$$u_L(t) = L \left(-\frac{1}{\tau}\right) \cdot [i_L(t_0) - i_L(t_\infty)] \exp\left(-\frac{t-t_0}{\tau}\right)$$

Stromverlauf bei C, Spannungsverlauf bei L SPRINGT! (ist unstetig)

$\Rightarrow$  Werte an Intervallgrenze extra berechnen!  $i_C-(t_1)$ ,  $i_C+(t_1)$ ,  $u_L-(t_1)$ ,  $u_L+(t_1)$

- Skizze des Zeitverlaufs:

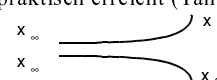
stabiler Fall  $\tau > 0$

- Tangente an  $x(t)$  in  $(t_0, x_0)$  geht durch  $(t_0 + \tau, x_\infty)$
- $x(t)$  hat sich nach  $\tau$ :  $0,63 \cdot (x_0 - x_\infty)$  in Richtung  $x_\infty$  bewegt
- nach  $7 \cdot \tau$  ist  $x_\infty$  praktisch erreicht (Tangente)
- $x_\infty > x_0$
- $x_\infty < x_0$



instabiler Fall  $\tau < 0$

- Tangente an  $x(t)$  in  $(t_0, x_0)$  geht durch  $(t_0 - |\tau|, x_\infty)$
- Nach  $|\tau|$  ist  $x(t)$  um  $1,72 \cdot |x_0 - x_\infty|$  angewachsen
- $x(t)$  hat sich nach  $\tau$ :  $0,63 \cdot (x_0 - x_\infty)$  in Richtung  $x_\infty$  bewegt
- nach  $7 \cdot \tau$  ist  $x_\infty$  praktisch erreicht (Tangente)
- $x_\infty < x_0$
- $x_\infty > x_0$



$x_\infty = x(t_\infty)$ : Gleichgewichtszustand (Fixpunkt)

$x_0 = x(t_0)$ : Anfangswert

## Strom- und Spannungsverläufe bei allgemeiner Erregung ( $u_0(t)$ bzw. $i_0(t)$ sind beliebige Funktionen der Zeit)

$$u_C(t) = u_C(t_0) \exp\left(-\frac{t-t_0}{\tau}\right) + \int_{t_0}^t \frac{1}{\tau} u_0(t') \exp\left(-\frac{t-t'}{\tau}\right) dt'$$

$$i_L(t) = i_L(t_0) \exp\left(-\frac{t-t_0}{\tau}\right) + \int_{t_0}^t \frac{1}{\tau} i_0(t') \exp\left(-\frac{t-t'}{\tau}\right) dt'$$

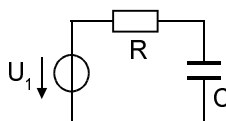
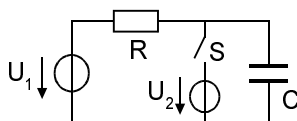
zero input response + zero state response

## Lineare Zeitvariante Schaltung:

Schalter wird zum Zeitpunkt T geschlossen

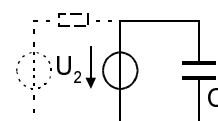
offener Schalter:

geschlossener Schalter:



$t \in [t_0, T[$

$U_C(t_\infty) = U_1$



$t \in [T, \infty[$

$U_C(t) = U_2$

- 2 verschiedene  $u(t_\infty)$  und 2 verschiedene  $\tau$
- sonst reelle Vorgehensweise wie oben!

Stabilität: passiv  $\Rightarrow$  stabil aktiv  $\Rightarrow$  instabil (vgl. stückweise lineare Schaltungen)

# Stückweise lineare Schaltungen

## Dynamischer Pfad:

C	$i = -C \cdot \dot{u}$	<ul style="list-style-type: none"> <li>- Kennlinie von N in <math>u</math>-<math>i</math>-Diagramm einzeichnen</li> <li>- GGP einzeichnen: Punkte wo <math>i=0</math></li> <li>- Richtung des dynamischen Pfades: solange <math>i &gt; 0 \Rightarrow u</math> muß fallen</li> </ul>
L	$u = -L \cdot \dot{i}$	<ul style="list-style-type: none"> <li>- Kennlinie von N in <math>u</math>-<math>i</math>-Diagramm einzeichnen</li> <li>- GGP einzeichnen: Punkte wo <math>u=0</math></li> <li>- Richtung des dynamischen Pfades: solange <math>u &gt; 0 \Rightarrow i</math> muß fallen</li> </ul>

## Zeitdauer um Kennlinie zu durchlaufen (Stückweise Lineare Schaltung)

- einzelne ESBs zeichnen und Gleichungen aufstellen,  $\tau$  berechnen

- DGL nach  $t$  auflösen:

$u(t_0)$  = Startwert

$u(t_1)$  = Endpunkt des Astes

$u(t_\infty)$  = gedachter Schnittpunkt des Astes mit  $u$ -Achse.

- nächster Ast:  $t_1$  für  $t_0$ , neues  $\tau$ , neue  $u(t_0)$ ,  $u(t_1)$ ,  $u(t_\infty)$

- Sprünge: - Sprünge kosten keine Zeit

- bei C: Spannung konstant, Strom springt

- bei L: Strom konstant, Spannung springt

- Periodendauer (Relaxationsoszillator):  $T = t_3 - t_1$  Frequenz:  $f = \frac{1}{T}$

- Symmetrie der Kennlinie ausnutzen:  $T = 2 t_2$   $t_1 = t_2$

- Vorsicht: Zählpfeilrichtung beachten! bei C:  $i_C = -i$

bei L:  $u_L = -u$

$$t_1 = t_0 + \tau \cdot \ln \frac{u_C(t_0) - u_C(t_\infty)}{u_C(t_1) - u_C(t_\infty)}$$

$$\text{bei L: } t_1 = t_0 + \tau \cdot \ln \frac{i_L(t_0) - i_L(t_\infty)}{i_L(t_1) - i_L(t_\infty)}$$

## Toter Punkt:

- ist kein Gleichgewichtszustand und es existiert kein Ausweg entlang der Kennlinie

- dynamischer Pfad kann durch Sprungregel fortgesetzt werden:

- bei C: Punkt auf Kennlinie suchen mit gleicher Spannung

- bei L: Punkt auf Kennlinie suchen mit gleicher Stromstärke

- P muß einziger Punkt mit dieser Eigenschaft sein.

$\Rightarrow$  periodischer Verlauf von Strom und Spannung!

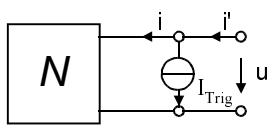
## Triggerung:

- Durch Triggerimpuls wandert man von einem stabilen zu einem anderen stabilen GGP. Der Triggerimpuls verschiebt die Kennlinie so, daß der Betriebspunkt von einem GGP in den anderen wandern kann.

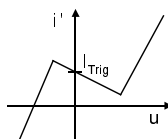
-  $i_{Trig}$  oder  $u_{Trig}$  muß groß genug sein, damit Zwischenzustände erreicht werden, es dürfen aber keine neuen Totpunkte entstehen

-  $\Delta t$  muß lang genug sein, damit evtl. Zwischenpunkte durchlaufen werden.

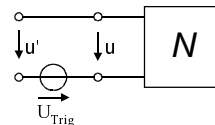
### Triggern mit Strom (bei C)



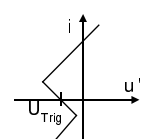
$$i' = i + I_{Trig}$$



### Triggern mit Spannung (bei L)



$$u' = u - U_{Trig}$$



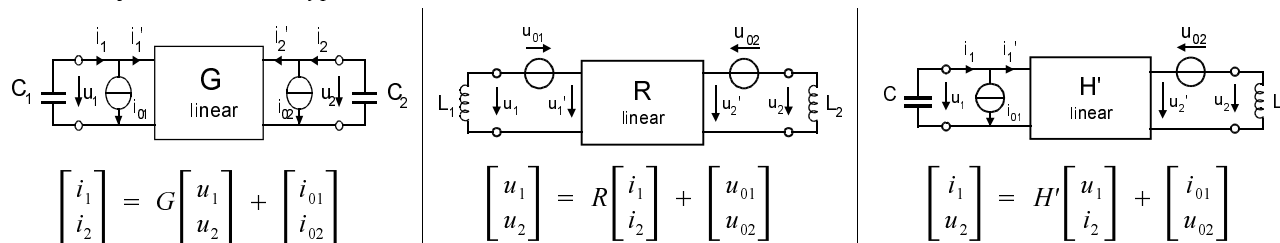
# Lineare Schaltungen zweiten Grades

$$\dot{x} = A x + B v$$

## Zustandsgleichungen aufstellen:

1. Schaltung umzeichnen, so daß Reaktanzen an Toren eines resistiven Zweitors liegen.

2. ESB's, je nach Reaktanztyp:



3. Matricelemente berechnen; in Abhängigkeit von unabhängigen Torgrößen und Erregungsquellen (innen)

<p>① <math>i_1 = g_1(u_1, u_2, u_0, i_0) = -C \dot{u}_1</math></p> <p><math>i_2 = g_2(u_1, u_2, u_0, i_0) = -C \dot{u}_2</math></p> <p>② oder G aufstellen</p>	<p>① <math>u_1 = r_1(i_1, i_2, u_0, i_0) = -L \dot{i}_1</math></p> <p><math>u_2 = r_2(i_1, i_2, u_0, i_0) = -L \dot{i}_2</math></p> <p>② oder R aufstellen</p>	<p>① <math>i_1 = h_1(u_1, i_2, u_0, i_0) = -C \dot{u}_1</math></p> <p><math>u_2 = h_2(u_1, i_2, u_0, i_0) = -L \dot{i}_2</math></p> <p>② oder H' aufstellen</p>
--	--	---

4. Zustandsmatrix A ermitteln

$A = \begin{bmatrix} -\frac{1}{C_1} & 0 \\ 0 & -\frac{1}{C_2} \end{bmatrix} \cdot G \quad \text{oder aus ①}$	$A = \begin{bmatrix} -\frac{1}{L_1} & 0 \\ 0 & -\frac{1}{L_2} \end{bmatrix} \cdot R \quad \text{oder aus ①}$	$A = \begin{bmatrix} -\frac{1}{C} & 0 \\ 0 & -\frac{1}{L} \end{bmatrix} \cdot H' \quad \text{oder aus ①}$
--	--	---

5. Einkoppelmatrix B bestimmen

$v = \begin{bmatrix} u_0 \\ i_0 \end{bmatrix}$  ist Vektor aller inneren Erregungen;  $T$  ist Transformationsmatrix

Wenn die Erregung gleich 0, handelt es sich um ein autonomes System

$\begin{bmatrix} i_{01} \\ i_{02} \end{bmatrix} = T v \quad B = \begin{bmatrix} -\frac{1}{C_1} & 0 \\ 0 & -\frac{1}{C_2} \end{bmatrix} \cdot T$	$\begin{bmatrix} u_{01} \\ u_{02} \end{bmatrix} = T v \quad B = \begin{bmatrix} -\frac{1}{L_1} & 0 \\ 0 & -\frac{1}{L_2} \end{bmatrix} \cdot T$	$\begin{bmatrix} i_{01} \\ u_{02} \end{bmatrix} = T v \quad B = \begin{bmatrix} -\frac{1}{C} & 0 \\ 0 & -\frac{1}{L} \end{bmatrix} \cdot T$
---	---	---

6. Zustandsgleichung aufstellen: Zustandsvektor  $x$ :

$x = \begin{bmatrix} u_1 \\ u_2 \end{bmatrix} \quad \dot{x} = \begin{bmatrix} \dot{u}_1 \\ \dot{u}_2 \end{bmatrix}$	$x = \begin{bmatrix} i_1 \\ i_2 \end{bmatrix} \quad \dot{x} = \begin{bmatrix} \dot{i}_1 \\ \dot{i}_2 \end{bmatrix}$	$x = \begin{bmatrix} u_1 \\ i_2 \end{bmatrix} \quad \dot{x} = \begin{bmatrix} \dot{u}_1 \\ \dot{i}_2 \end{bmatrix}$
---	---	---

Ausgangssignal:  $y = c^T x + d v = u_{out}$  mit:

$c^T$  = Auskoppelvektor

$d$  = Durchgriff der Erregung

$v$  = Erregungsvektor

## Lösen der Zustandsgleichung

EW's berechnen:  $\lambda_{1,2} = \frac{T}{2} \pm \sqrt{\frac{T^2}{4} - \Delta}$

$T = a_{11} + a_{22} = \text{Spur } A$

$\Delta = \det A = a_{11}a_{22} - a_{12}a_{21}$

$\det(A - \lambda E) = 0$

$A = \text{Zustandsmatrix} = \text{Systemmatrix}$

EV's berechnen:  $(A - \lambda_1 E) \underline{q}_1 = 0$

$(A - \lambda_2 E) \underline{q}_2 = 0$

Zeitkonstante berechnen:  $\tau = \frac{-1}{\lambda}$

man wählt:  $|\lambda_1| < |\lambda_2|$   
 $\Rightarrow q_2$  ist schneller EV

Homogenen Zustandsgleichung ohne Erregung:

$\dot{\underline{x}}(t) = A \underline{x}(t) \quad v(t) = 0$

1. Fall:  $\lambda_1 \neq \lambda_2 \in \mathbb{R}$

$\underline{x}(t) = c_1 e^{\lambda_1 t} \underline{q}_1 + c_2 e^{\lambda_2 t} \underline{q}_2$

$c_{1,2}$  mit Anfangsbedingung bestimmen:  $\underline{x}(0) = c_1 \underline{q}_1 + c_2 \underline{q}_2$

2. Fall:  $\lambda = \lambda_1 = \lambda_2$

$\underline{x}(t) = e^{\lambda t} [E + (A - \lambda E)t] \begin{pmatrix} c_1 \\ c_2 \end{pmatrix}$

3. Fall:  $\lambda_1 = \overline{\lambda_2} = \lambda \in \mathbb{C}$

$\underline{x}(t) = c_1 R e(e^{\lambda t} \underline{q}) + c_2 I m(e^{\lambda t} \underline{q})$

$\underline{x}(t) = c_1 e^{\alpha t} [\cos(\beta t) \underline{q}_r - \sin(\beta t) \underline{q}_i] + c_2 e^{\alpha t} [\sin(\beta t) \underline{q}_r + \cos(\beta t) \underline{q}_i] \quad (\lambda = \alpha + j\beta, \alpha = \text{Dämpfung})$

Homogenen Zustandsgleichung (Transformation auf Normalform)

1. Fall:  $\lambda_1 \neq \lambda_2$

$Q^{-1} A Q = \Lambda = \begin{bmatrix} \lambda_1 & 0 \\ 0 & \lambda_2 \end{bmatrix}$ , Modalmatrix:  $Q = [\underline{q}_1, \underline{q}_2]$

$\underline{\xi}_0 = Q^{-1} \underline{x}_0$  bestimmen

Normalform:  $\dot{\underline{\xi}} = \Lambda \underline{\xi} \Rightarrow \underline{\xi}(t) = e^{\Lambda t} \underline{\xi}_0$

Lösung:  $\underline{\xi}(t) = \begin{bmatrix} e^{\lambda_1 t} \xi_{01} \\ e^{\lambda_2 t} \xi_{02} \end{bmatrix}$

Rücktransformation:  $\underline{x}(t) = Q \underline{\xi}(t)$

2. Fall:  $\lambda_1 = \lambda_2$  Transformation auf Jordan-Normalform

Transformation  $\underline{\xi}_0 = Q^{-1} \underline{x}_0$  kann nicht ausgeführt werden, da Q nicht mehr invertierbar ist.

$J = \begin{bmatrix} \lambda & 1 \\ 0 & \lambda \end{bmatrix}$

$\underline{\xi}_0 = Q^{-1} \underline{x}_0$

$Q' = \begin{bmatrix} -a_{12} & -a_{12} \\ \frac{a_{11}-a_{12}}{2} & \frac{a_{11}-a_{12}}{2} - 1 \end{bmatrix}$

Lösung:  $\underline{\xi}(t) = e^{Jt} \underline{\xi}_0 = \begin{bmatrix} e^{\lambda t} & t e^{\lambda t} \\ 0 & e^{\lambda t} \end{bmatrix} \begin{bmatrix} \xi_{01} \\ \xi_{02} \end{bmatrix}$

Rücktransformation  $\underline{x}(t) = Q' \underline{\xi}(t)$

3. Fall:  $\lambda_1 = \lambda_2^* = \overline{\lambda_2} = (\alpha \pm j\beta) \in \mathbb{C}$  Transformation auf reellwertige Normalform

Komplexwertige Normalform:  $\Lambda = \begin{bmatrix} \alpha + j\beta & 0 \\ 0 & \alpha - j\beta \end{bmatrix}$

Reelwertige Normalform:  $\Lambda' = \begin{bmatrix} \alpha & -\beta \\ \beta & \alpha \end{bmatrix}$

$Q = [\underline{q}, \underline{q}^*] ; Q' = [\underline{q}_r, -\underline{q}_i]$

$\underline{x} = Q \underline{\xi} \Leftrightarrow \underline{x} = Q' \underline{\xi}'$

$\underline{\xi}' = Q'^{-1} Q \underline{\xi} = \begin{bmatrix} 1 & 1 \\ -j & j \end{bmatrix} \underline{\xi}$

ausführlich:  $\xi_1' = \xi_1 + \xi_2 = 2 R e(\xi)$

$\xi_2' = -j(\xi_1 - \xi_2) = 2 I m(\xi)$

Autonome Zustandsgleichung (Zurückführen auf ein hom. System)

$\dot{\underline{x}}(t) = A \underline{x}(t) + B \underline{v}_0$

$\underline{v}_0 = \text{const}$

1. Fall: Wenn A invertierbar

$\Rightarrow$  Koordinatentransformation:  $\underline{x}' = \underline{x} - \underline{x}_\infty ; \dot{\underline{x}}' = \dot{\underline{x}} ; \underline{x}_\infty = -A^{-1} B \underline{v}_0$

$\Rightarrow$  homogene DGL:  $\dot{\underline{x}}' = A \underline{x}'$

$\Rightarrow$  obiger Lösungsansatz

2. Fall:  $\underline{x} = \underline{x}(\text{hom}) + \underline{x}(t_\infty)$

entspricht einer Verschiebung des Ursprungs in  $\underline{x}(t_\infty)$  !

$\underline{x}(t_\infty) = -A^{-1} B \underline{v}_0$  ist stationärer Endwert im stabilen Fall

$\underline{x}(\text{hom})$  ist homogene Lösung

Inverse Matrix:

$A = \begin{bmatrix} a_{11} & a_{12} \\ a_{22} & a_{22} \end{bmatrix}$

$A^{-1} = \frac{1}{\det A} \begin{bmatrix} a_{22} & -a_{12} \\ -a_{21} & a_{11} \end{bmatrix}$

## Zustandsgleichung mit allgemeiner (zeitabhängiger) Erregung:

a) allgemeine Form:  $\dot{x}(t) = A x(t) + B v(t)$

b) Transformation:  $\xi = \Lambda \xi + Q^{-1} B v = \Lambda \xi + v'$  wobei  $\xi = Q^{-1} x$   $\Lambda = Q^{-1} A Q$   $v' = Q^{-1} B v$   $Q = [q_1 | q_2]$

c) Lösung:

$$\xi(t) = e^{\Lambda t} \xi_0 + \int_0^t e^{\Lambda(t-t')} v'(t') dt'$$

zero input response + zero state response

Ausführlich:

$$\xi_1(t) = e^{\lambda_1 t} \xi_{01} + \int_0^t e^{\lambda_1(t-t')} v_1'(t') dt'$$

$$\xi_2(t) = e^{\lambda_2 t} \xi_{02} + \int_0^t e^{\lambda_2(t-t')} v_2'(t') dt'$$

- Ein System ist stabil, wenn gilt:

$$\operatorname{Re}(\lambda_i) < 0 \text{ da dann gilt: } \lim_{t \rightarrow \infty} x(t) = 0$$

- Im Komplexen ist die Richtung von  $q_x$  nach  $-q_i$  in der  $(\xi_1', \xi_2')$  Ebene immer im Gegenurzeigersinn

- Um ein instabiles System zu erhalten ist mindestens ein aktives Element nötig.

d) Rücktransformation des

Lösungsvektors  $\xi$  in ursprünglichen Vektor  $x$ :  $x = Q \xi$

## Lösungsbahnen des DGL - Systems $\dot{x} = A x$ im $\mathbb{R}^2$

	Matrix A	Eigenwerte	Art von $x=0$	Bezeichnung	Bahnen	Zeitantwort:
1	$\begin{pmatrix} \lambda_1 & 0 \\ 0 & \lambda_2 \end{pmatrix}$	$\lambda_1 < 0 < \lambda_2$	instabil	Sattelpunkt		zu 1. schwach gedämpfte Schwingung Zeitverlauf $\xi_1(t) = k e^{\alpha t} \cos(\beta t + \theta)$ ( $\alpha < 0$ ) Kreisfrequenz $\beta = \sqrt{\omega_0^2 - \alpha^2}$
2	$\begin{pmatrix} \lambda_1 & 0 \\ 0 & \lambda_2 \end{pmatrix}$	$\lambda_1 < \lambda_2 < 0$	asymptotisch stabil	Knoten 2. Art		
3		$0 < \lambda_1 < \lambda_2$	instabil			
4	$\begin{pmatrix} 0 & 0 \\ 0 & \lambda_2 \end{pmatrix}$	$\lambda_1 = 0$ $\lambda_2 < 0$	stabil	Gerade von Ruhelagen		zu 3. ungedämpfte Schwingung $\xi_1(t) = k \cdot \cos(\beta t + \theta)$ $\beta^2 = \omega_0^2$ 
5		$\lambda_1 = 0$ $\lambda_2 > 0$	instabil			
6	$\begin{pmatrix} \lambda & 0 \\ 0 & \lambda \end{pmatrix}$	$\lambda < 0$	asymptotisch stabil	Knoten 1. Art		
7		$\lambda > 0$	instabil			
8	$\begin{pmatrix} 0 & 0 \\ 0 & 0 \end{pmatrix}$	$\lambda = 0$	stabil	Ebene von Ruhelagen		zu 5. stark gedämpfte Schwingung $\xi_1(t) = \xi_{01} e^{\alpha t}$ ( $\alpha < 0$ ) 
9	$\begin{pmatrix} \lambda & 1 \\ 0 & \lambda \end{pmatrix}$	$\lambda < 0$	asymptotisch stabil	Knoten 3. Art		 $\tau_1 = -\frac{1}{\lambda_1}$ $\tau_2 = -\frac{1}{\lambda_2}$
10		$\lambda > 0$	instabil			
11	$\begin{pmatrix} 0 & 1 \\ 0 & 0 \end{pmatrix}$	$\lambda = 0$	instabil	Gerade von Ruhelagen		
12	$\begin{pmatrix} \alpha & -\beta \\ \beta & \alpha \end{pmatrix}$	$\alpha < 0$ $\beta \neq 0$	asymptotisch stabil	Strudelpunkt		zu 9. aperiodisch gedämpfte Schwingung $\xi_1(t) = (\xi_{01} + \xi_{02} t) e^{\alpha t}$ ( $\alpha < 0$ ) abhängig von $\xi_{02}$ 
13		$\alpha > 0$ $\beta \neq 0$	instabil			
14	$\begin{pmatrix} 0 & -\beta \\ \beta & 0 \end{pmatrix}$	$\alpha = 0$ $\beta \neq 0$	stabil	Wirbelpkt. Zentrum		

# Nichtlineare dynamische Schaltungen

## Zustandsgleichungen aufstellen:

- Zustandsvariable auswählen:
 

C : spannungsgesteuert $\Rightarrow u_C$ !	bei L : stromgesteuert $\Rightarrow i_L$ !
Ladungsgesteuert $\Rightarrow q$	flußgesteuert $\Rightarrow \Phi$
beides $\Rightarrow u_C$	beides $\Rightarrow i_L$
- wenn die Reaktanzen von keiner Größe gesteuert werden, gibt es keine Beschreibung!!
- allgemeine Form:
 

$\dot{x}_1 = f_1(x_1, x_2)$	$\dot{i}_C = \dots = C \dot{u}_C$	Aus nichtlinearer Reaktanz: $i_C = \dot{q}$ bzw. $u_L = \dot{\Phi}$
$\dot{x}_2 = f_2(x_1, x_2)$	$\dot{u}_L = \dots = L \dot{i}_L$	

## Gleichgewichtspunkte $x_1(t_\infty)$ , $x_2(t_\infty)$ bestimmen:

- durch Zustandsgleichungen  $\dot{x}_1 = \dot{x}_2 = 0$  Nullsetzen und nach  $x_1$  und  $x_2$  auflösen
- direkt aus Schaltung bestimmen:  $C \Rightarrow LL$ ,  $L \Rightarrow KS$  (nur sinnvoll wenn Zustandsbeschreibung nicht gebraucht wird)

## Zustandsgleichungen normieren: (falls Norm gegeben!) $\frac{d}{dt} \Rightarrow \frac{d}{d\tau}$ mittels substituieren

## Gleichgewichtspunkte klassifizieren:

- Jakobimatrix durch Ableiten der Zustandsgleichungen aufstellen:
 
$$J = \begin{bmatrix} \frac{df_1}{dx_1} & \frac{df_1}{dx_2} \\ \frac{df_2}{dx_1} & \frac{df_2}{dx_2} \end{bmatrix} \bigg|_{GGP, x=x(t_\infty)}$$
- Gleichgewichtspunkte einzeln in  $J$  einsetzen und jeweils Eigenwerte berechnen  $\det(J - \lambda E) = 0$
- Aus den Eigenwerten folgen die Arten der Phasenportraits
- bei stückweise linearen Kennlinien braucht man  $J$  nicht aufzustellen, sondern man unterteilt jeweils in einzelne lineare Systeme
- Satz von Hartmann: Wenn in einem GGP der Realteil aller EW's der Jacobi-Matrix  $J$  ungleich Null ist, dann verhält sich das System in der Umgebung des GGP genauso wie ein lineares System mit denselben Eigenwerten (derselben Systemmatrix)
- Ist der Realteil auch nur eines einzigen Eigenwerts gleich Null ( $\alpha=0$ ) kann man keine Aussage über das Stabilitätsverhalten machen. (Ausnahme; Stückw. Lineare Systeme)
- Bei Stückweise linearen Systemen:
  - Jeden Bereich für sich betrachten und lineare Bereichsdifferentialgleichungen angeben.
  - Keine Differentiation, Kein Satz von Hartmann nötig!

## Phasenportrait zeichnen:

- Gleichgewichtspunkte einzeichnen und beschriften (Schnittpunkte von  $m=0$ ;  $m=\infty$ )
- Eigenvektoren einzeichnen (vor allem bei Sattelpunkt und Knoten, bei Strudelpunkt nicht so wichtig)
- Lokale Phasenportraits in der Nähe der Gleichgewichtspunkte einzeichnen
- Isoklinen einzeichnen:
 

$f_2(x_1, x_2)=0 \Leftrightarrow m=0$	$m$ ist Steigung der Tangente an die Trajektorie
$f_1(x_1, x_2)=0 \Leftrightarrow m \rightarrow \infty$	im Schnittpunkt der Trajektorie mit der Isokline
- Trajektorien einzeichnen
- Separatrix ist / sind Verlängerung der EV der instabilen Gleichgewichtspunkte (auch gekrümmt)
- Wenn alle Bauelemente der Schaltung ungepolt sind, ist das Phasenportrait punktsymmetrisch zum Ursprung.

## Konservative Schaltungen (hinreichend genaue Modelle realer Schaltungen sind niemals konservativ!)

Bedingung: für konservative Schaltungen existiert stetige Energiefunktion  $E(x)$

$$\dot{E}=0, \quad \frac{\partial E}{\partial x_1} f_1 + \frac{\partial E}{\partial x_2} f_2 = 0$$

- Nur Sattel- und Wirbelpunkte sind als Arten von Gleichgewichtspunkten möglich

- Trajektorien sind Äquipotentiallinien der Energiefunktion

$\Gamma =$  Trajektorie

$$E(\Gamma) = E(u_C(0), i_L(0)) \quad E(\Gamma) = \frac{1}{2} (C u_C^2 + L i_L^2) \quad \text{in einem Schwingkreis gespeicherte Feldenergie } E$$

- Scheitelwerte  $\hat{u}_C, \hat{i}_L$  erhält man durch Nullsetzen der jeweils anderen Zustandsgröße  $\hat{i}_L = \sqrt{\frac{2E(\Gamma)}{L}} \quad \hat{u}_C = \sqrt{\frac{2E(\Gamma)}{C}}$

- Zeitdauer eines Umlaufs um eine Trajektorie  $T_0 = T(\Gamma) = \oint_{\Gamma} dt = 4 \int_0^{\hat{i}_L} \frac{L}{u_C} di_L = 2\pi \sqrt{LC}$

- Kreisfrequenz  $\omega_0 = 2\pi f_0 = 2\frac{\pi}{T} = \frac{1}{\sqrt{LC}} \quad u_C = \hat{u}_C \cos(\omega_0 t - \Phi_0) \quad \text{Phasenlage aus Anfangszustand!}$   
 $i_L = \hat{i}_L \sin(\omega_0 t - \Phi_0)$

- Ergänzung zum Satz von Hartmann:

Ein GGP einer nichtlinearen dynamischen Schaltung ist genau dann ein Wirbelpunkt, wenn seine Jacobimatrix rein imaginäre EW's ( $\alpha=0$ ) hat und das System in einer offenen Umgebung  $U$  des GGP konservativ ist.

## Oszilatoren

- Phasenportrait ist stabiler Grenzzzyklus (und damit ein Oszillator)  $\Leftrightarrow$

- Es darf nur einen GGP geben. Dieser muß instabil sein.

- autonomes, dynamisches System zweiten Grades

- Trajektorien müssen zu allen Anfangswerten aus Umgebung  $U$  beschränkt sein (bei letztendlich passiven Elementen immer der Fall!)

- Zustandsgrößen sind beschränkt (Schaltung nur aus positiven, linearen C, L und R besteht)

Stabilitätsuntersuchung:

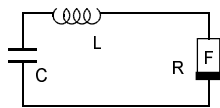
EWs betrachten:

$\text{Re} < 0 \Rightarrow$  GGP stabil

$\text{Re} > 0 \Rightarrow$  GGP instabil

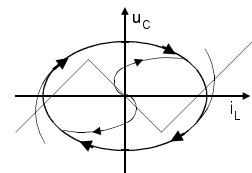
$\text{Re} = 0 \Rightarrow$  keine Aussage

- Stückweise lineare Oszilatoren:



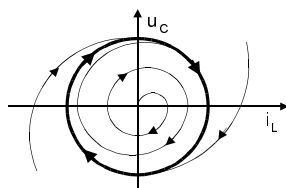
$$\dot{u}_C = -\frac{1}{C} i_L$$

$$\dot{i}_L = -\frac{1}{L} u_C - \frac{1}{L} r_F(i_L)$$



typisches reelles  
Phasenportrait:  
(stückweise linearer Osz.)

### fast harmonischer Oszillator



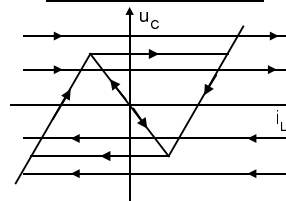
Frequenz abhängig von den Werten der Reaktanzen.

Amplitude abhängig von Nichtlinearität der Bauteile.

( $L \rightarrow \infty, C \rightarrow \infty, R \rightarrow 0$ )

$$\text{Resonanzfrequenz} \quad \omega_0 = \frac{1}{\sqrt{LC}}$$

### Relaxationsoszillator



Frequenz und Amplitude werden wesentlich von

Nichtlinearität der Bauteile bestimmt.

$$(L \rightarrow 0, R \rightarrow \infty) \quad \omega_0 = \frac{\pi}{\ln 3} \cdot \frac{1}{RC} \quad 2\sqrt{\frac{L}{C}} \ll R$$



# Komplexe Wechselstromrechnung, Analyse dynamischer Schaltungen

## Allgemeines:

Eigenschwingung der dynamischen Schaltung:  $x(t) = Re\{A_m e^{\sigma t} e^{j(\alpha + \omega t)}\} = A_m e^{\sigma t} \cos(\omega t + \alpha)$

$p = \sigma + j\omega \Leftrightarrow$  Frequenzparameter  $p$

$\omega = 2\pi f \Leftrightarrow$  Kreisfrequenz  $\omega$

$A = A_m e^{j\alpha} \Leftrightarrow$  Komplexe Amplitude

$$I_C = j\omega C U_C$$

$$U_L = j\omega L I_L$$

bzw.

$$I_L = \frac{1}{j\omega L} \cdot U_L$$

$$U_C = \frac{1}{j\omega C} \cdot I_C$$

## Netzwerkfunktionen:

- Zweipolfunktionen: (Zeiger die am gleichen Tor definiert sind (Immitanzen))

$$u(t) = Re\{U e^{pt}\} \quad i(t) = Re\{I e^{pt}\} \quad \text{mit } p = j\omega$$

- Impedanz: komplexer Widerstand, Scheinwiderstand

$$Z(j\omega) = \frac{U}{I}$$

$$Z_L(p) = pL$$

$$Z_C(p) = \frac{1}{pC}$$

- Admittanz: komplexer Leitwert, Scheinleitwert

$$Y(j\omega) = \frac{I}{U}$$

$$Y_L(p) = \frac{1}{pL}$$

$$Y_C(p) = pC$$

- Transferfunktion: (Übertragungsfunktion, Zeigergrößen gehören zu verschiedenen Toren)

$$I_q = Y_k(p) U_k$$

$\Rightarrow$

$$H(j\omega) = \frac{U_{out}}{U_{in}} = \frac{U_{km}}{I_n} = \frac{(-1)^{n+m} \det Y_{nm}(j\omega)}{\det Y_K(j\omega)}$$

$\det Y_{nm}(j\omega)$  ist die Unterdeterminante von  $Y_K$  die nach streichen der n-ten Zeile und m-ten Spalte von  $Y_K$  entsteht

$$\text{Cramer Regel: } u_{ki} = \frac{\det Y_{ki}}{\det Y_K}$$

$\det Y_{ki}$  entsteht durch Ersetzen der i. Spalte in  $Y_K$  durch  $i_q$

## Eigenfrequenz bestimmen:

- Transferfunktion faktorisieren (wichtig für Bode)

- Transferfunktion normieren

- Nullstellen des Zählerpolynoms  $\Rightarrow$  Nullstellen von  $H(p)$

- Nullstellen des Nennerpolynoms  $\Rightarrow$  Polstellen von  $H(p)$

Eigenfrequenzen  $p = \sigma + j\omega$

- Aussage über Phasenportrait:

Wenn die Nullstellen des Nennerpolynoms in der linken p Halbebene liegen ist das System stabil

Frequenzgang: (Frequenzabhängigkeit von Betrag und Winkel (Real und Imaginärteil) der Komplexwertigen Funktionen)

$$v(\omega) = 20 \lg \left| \frac{H(j\omega)}{H(j\omega_0)} \right| \text{ in dB}$$

$$v(\omega) = \ln \left| \frac{H(j\omega)}{H(j\omega_0)} \right| \text{ in Np}$$

$$1 \text{ Np} = \frac{20 \text{ dB}}{\ln 10} \approx 8,69 \text{ dB}$$

$$1 \text{ dB} \approx 0,115 \text{ Np}$$

$$\varphi(\omega) = \angle H(j\omega) = \begin{cases} \arctan \frac{\text{Im}\{H(j\omega)\}}{\text{Re}\{H(j\omega)\}} & \text{für } \text{Re}\{H(j\omega)\} \geq 0 \\ \arctan \frac{\text{Im}\{H(j\omega)\}}{\text{Re}\{H(j\omega)\}} + \pi & \text{für } \text{Re}\{H(j\omega)\} < 0 \end{cases}$$

$$\lg 1 = 0$$

$$\lg 10 = 1$$

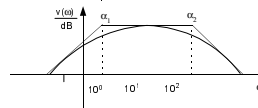
$$\lg 1/10 = -\lg 10 = -1$$

$$\lg 100 = 2$$

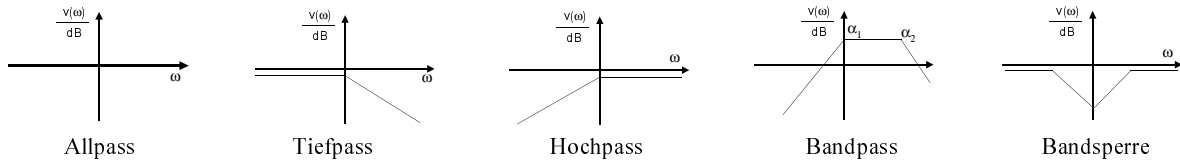
## Bode Diagramm

	Betrag $v(\omega)$ logarithmisch auftragen	Phase $\varphi(\omega)$ linear auftragen
$H(j\omega) = k = \text{const}$ $\Rightarrow v(\omega) = 20 \lg  k $		
$H(j\omega) = \frac{j\omega}{\alpha}$ $H(j\omega) = \frac{1}{j\omega/\alpha}$		
$H(j\omega) = 1 + \frac{j\omega}{\alpha}$		
$H(j\omega) = 1 - \frac{j\omega}{\alpha}$		
$H(j\omega) = \frac{1}{1 + j\omega/\alpha}$		
$H(j\omega) = 1 + \left(\frac{j\omega}{\alpha}\right)^2$ 40 dB / Dec wegen ..^2		

- bei 3dB Eckfrequenzen liegt der Kurvenverlauf um 3dB unter den Asymptoten
- Schnittpunkte der Asymptoten sind Eigenfrequenzen  $\alpha_1, \alpha_2$

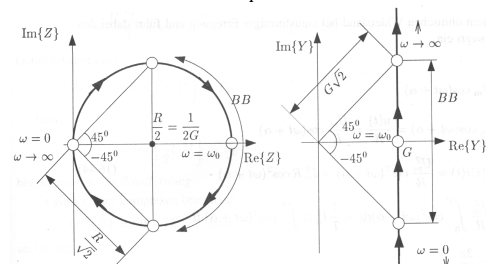


## Typische Übertragungsfunktionen



## Ortskurven

- es gibt nur positive Frequenzen; man berechnet  $Z(j\omega)$  für  $\omega=0$  und  $\omega \rightarrow \infty$
- BB = Bandbreite
- A, B ; 3dB Eckfrequenzen



## Aufstellen von Ortskurven:

- wichtige Frequenzen berechnen:  $\omega=0$  ;  $\omega \rightarrow \infty$  ;  $\omega=\omega_0$  ;  $|Re\{\xi\}| = |Im\{\xi\}|$
- Durchlaufsin überlegen für  $Z = R + j\omega L$  ↑  
für  $Z = R + \frac{1}{j\omega L}$  ↓
- Komplexer Widerstand Z ist: - in Widerstandsebene : Gerade - Leitwert Y ist: - in Widerstandsebene : Kreis  
- in Leitwertsebene : Kreis - in Leitwertsebene : Gerade

## Komplexe Leistung:

$$P = \frac{1}{2} U I^* = P_W + j P_B \quad \text{Wirkleistung:} \quad P_W = \frac{1}{T} \int_0^T u(t) i(t) dt = Re\{P\}$$

Leistung hängt nicht von der Frequenz ab!